

## 透過電子顕微鏡の基礎

- 構造・組織解析の手段として -

1. TEMの構成
2. レンズ作用と照射系のからくり
3. 電頭における回折現象の特殊性
4. 明視野像と暗視野像
5. 歪みの可視化：動力学的理論
6. 位相コントラスト
7. 走査型透過電子顕微鏡

ARIM事業班 今野豊彦

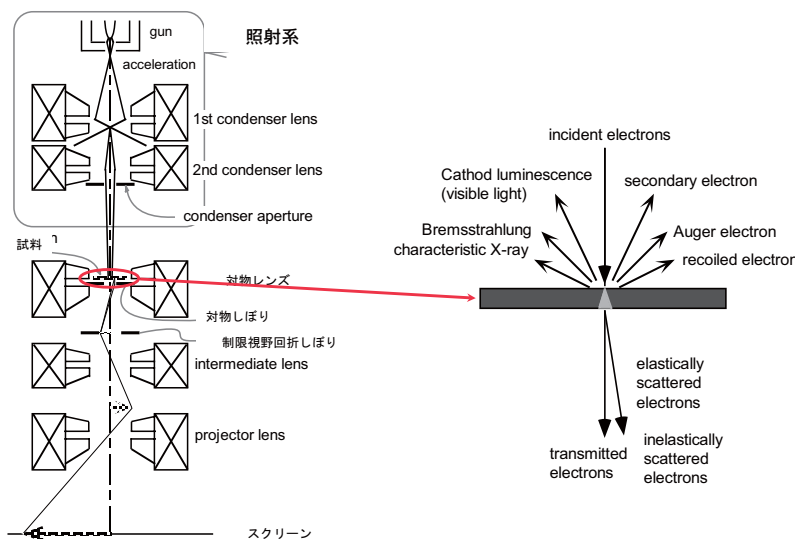
1

## 透過電子顕微鏡の構成



2

### TEMの電子光学系



TEMの基本的な光学系  
電子と物質の相互作用  
実際にはたくさんのレンズが組み合わされている

3

### 照射系のポイント



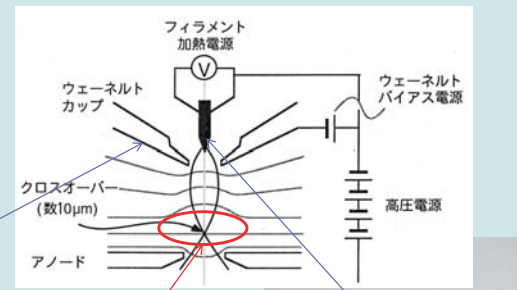
照射系の操作は左側のパネル

各種レンズ、コイル、しづりの動作を  
光線図で理解できているか？

4

## 電子をどうやって出すか：1 热電子銃

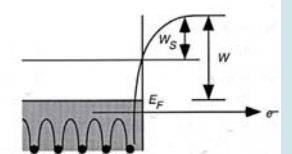
フィラメントを温めて電子を出す



クロスオーバーが実質的な光源となる

ことにより、ある確率を持って固体の外に出てくる。  
このときの電流密度  $j$  は次式で与えられる。これを  
Richardson-Dushman の式という。

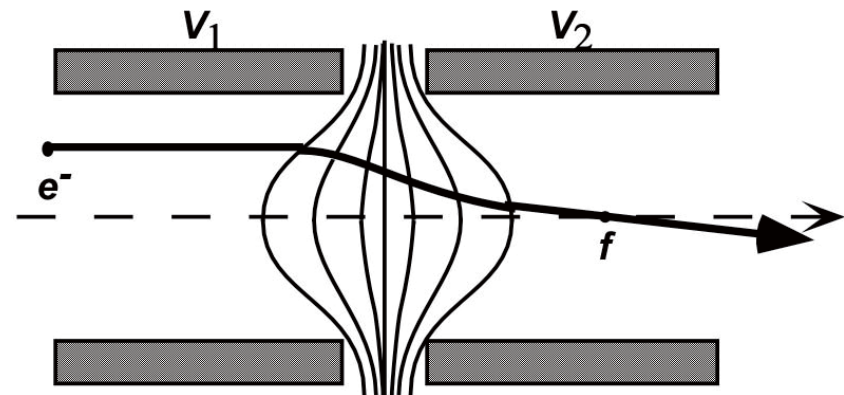
$$j = ev = \frac{em(kT)^2}{2\pi h^3} \exp\left(-\frac{W}{kT}\right) \quad (2.45)$$



その後、加速する（20万ボルト）

5

## 電界レンズ

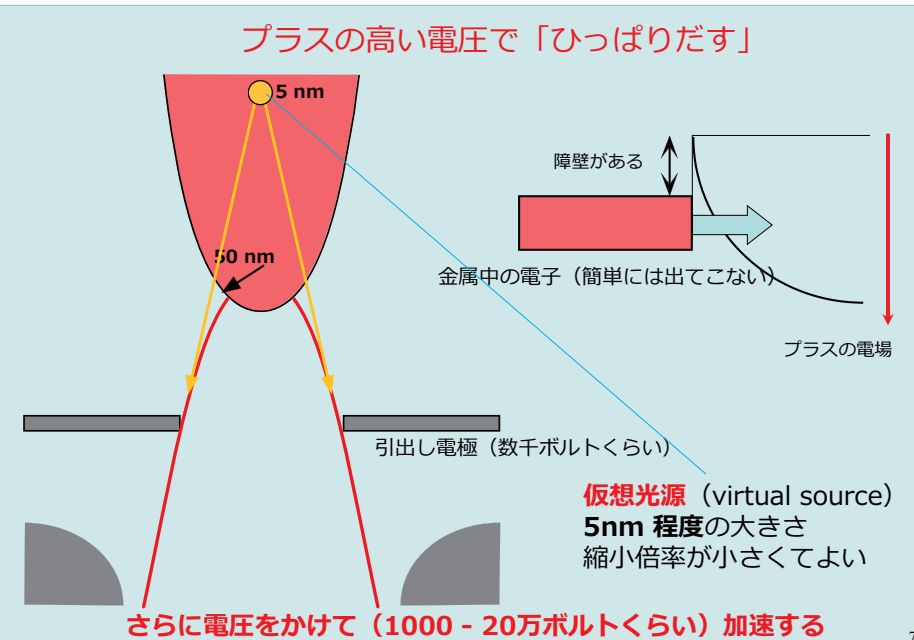


クロスオーバーまでは電界によるレンズ作用

6

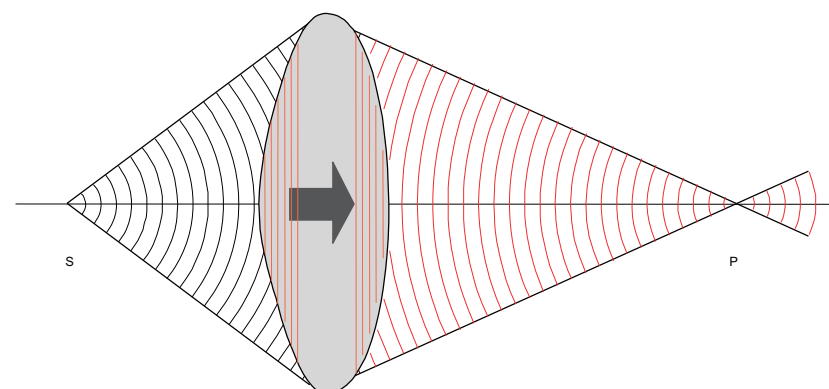
## 電子をどうやって出すか：2 電界放射型電子銃

プラスの高い電圧で「ひっぱりだす」



7

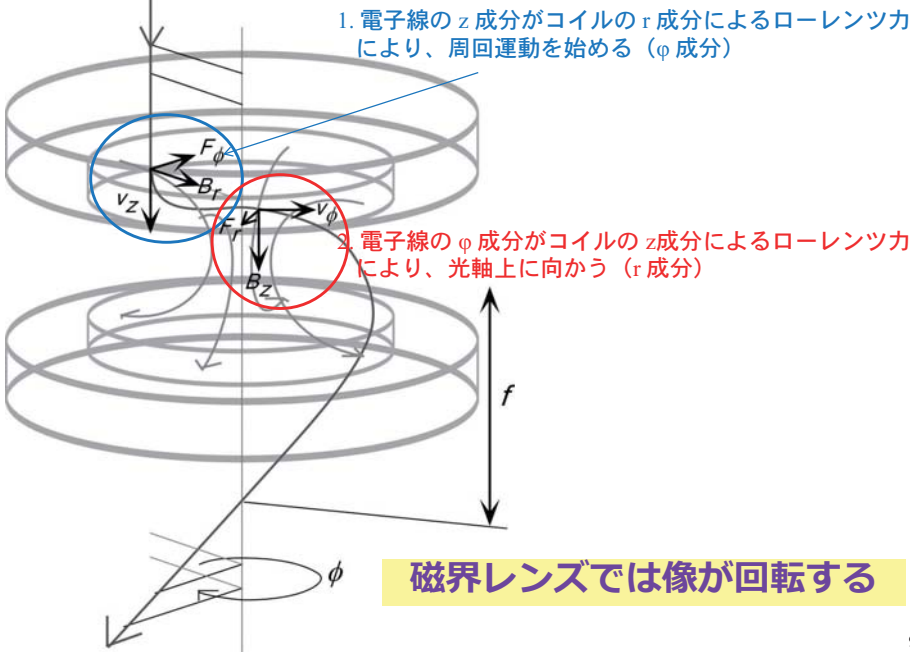
光に対するレンズ作用：屈折率の相違を利用！  
(レンズの中では波長が短くなるということ)



そもそもうだが、結局、レンズ作用を起こすには  
→ 光線の軌道を曲げられればよい

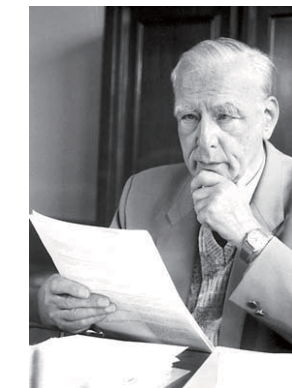
8

## 軸対称の場でのレンズ作用



9

## 電子顕微鏡の登場



Ernst Ruska (1906-1988)

"for his fundamental work in electron optics, and  
for the design of the first electron microscope"  
(Nobel Prize in 1986)

10

基本的には電磁場で軌道を曲げる

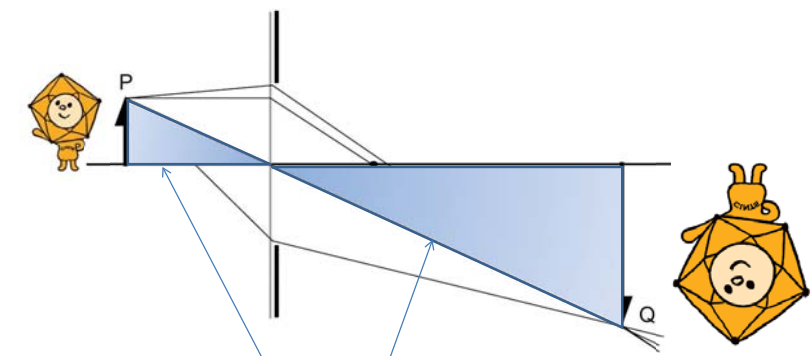
- (1) レンズ作用（電子線を光軸に向かって曲げる）  
→ 凸レンズと考える
- (2) 偏光コイル  
→ 走る電子に対するローレンツ力と考える

以下、レンズ作用は光に対するレンズで考える  
(幾何光学と波動光学)

11

小学生向けセミナーより

レンズがあると

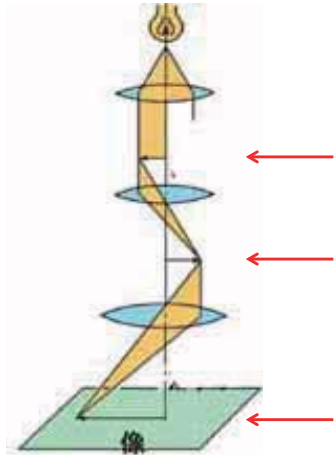


大きくうつせる！

光学レンズによる倍率：単純な三角形の相似で表される

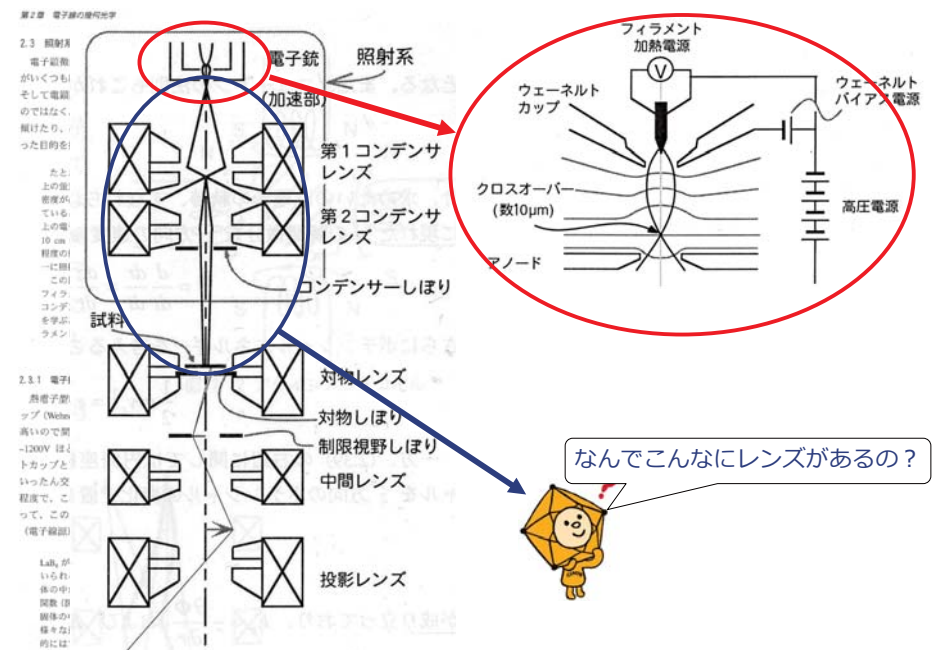
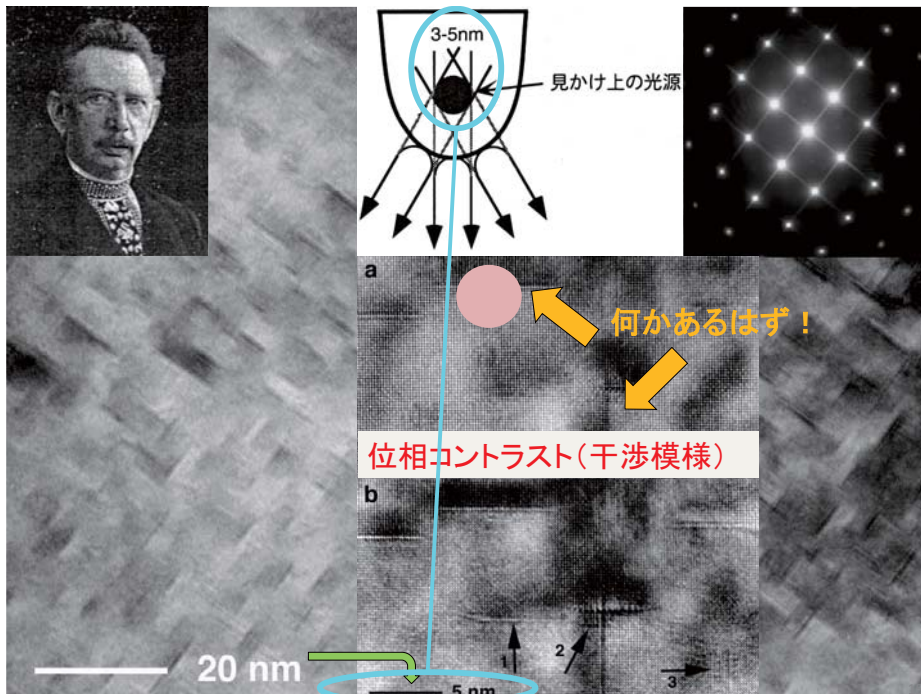
12

# ひかりをつかったけんびきょう

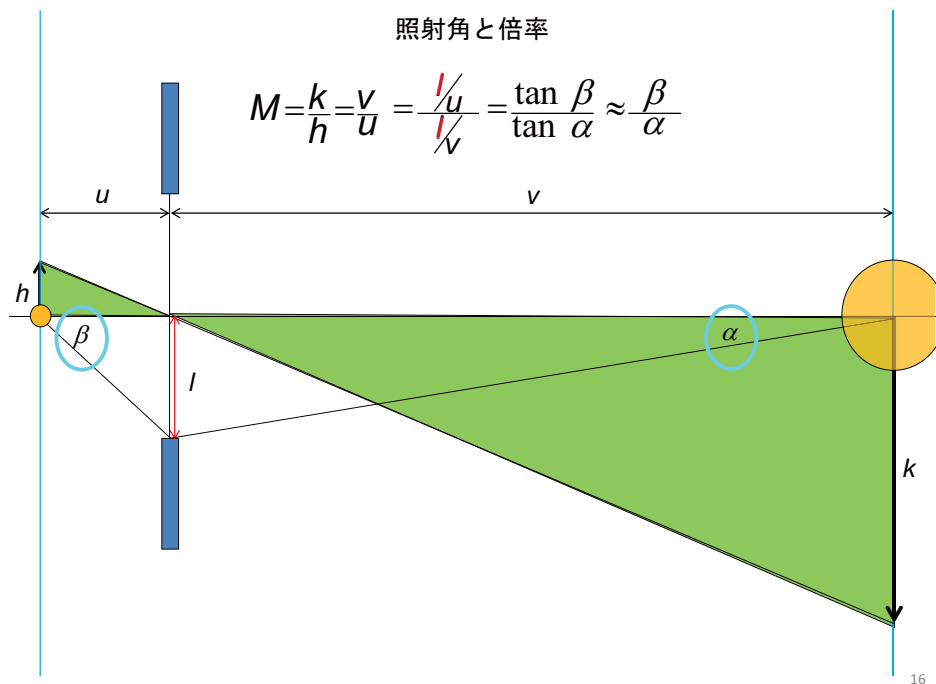


## 光学顕微鏡(こうがくけんびきょう)

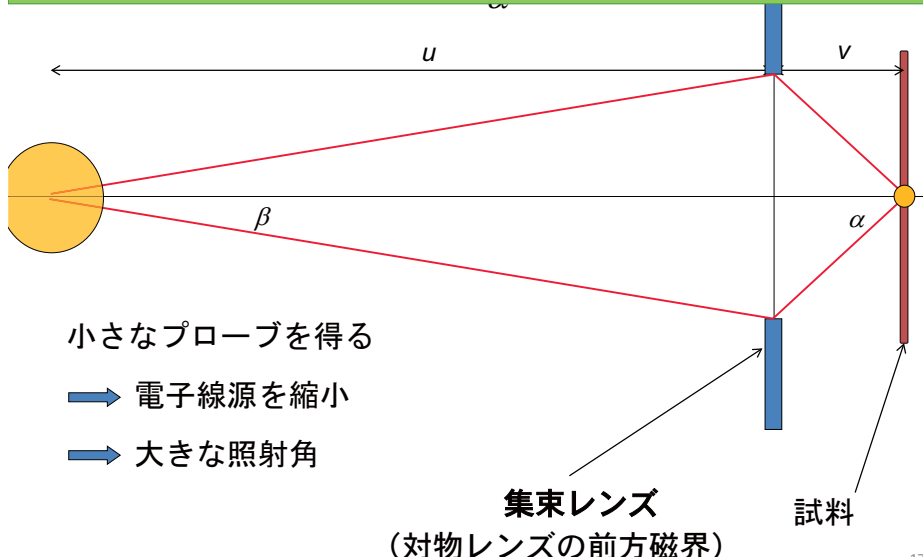
共役な位置：複数のレンズは等価な位置を繰り返し結像する <sub>13</sub>



2段コンデンサレンズ (スポットサイズとブライトネス) の意味 <sub>14</sub>

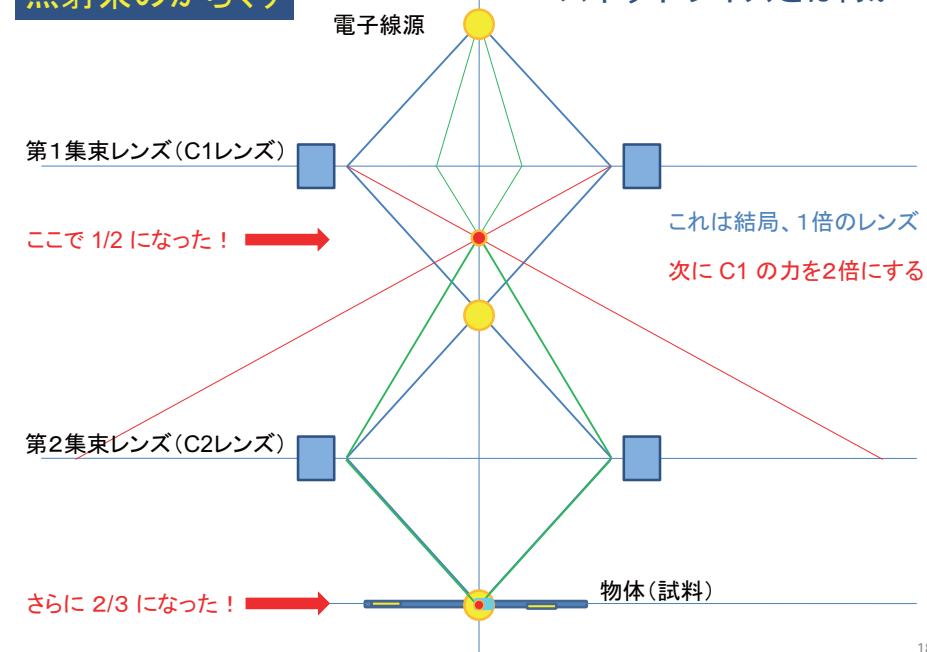


小さなプローブを得る（電子線源を縮小する）  
ということは照射角を大きくすること。



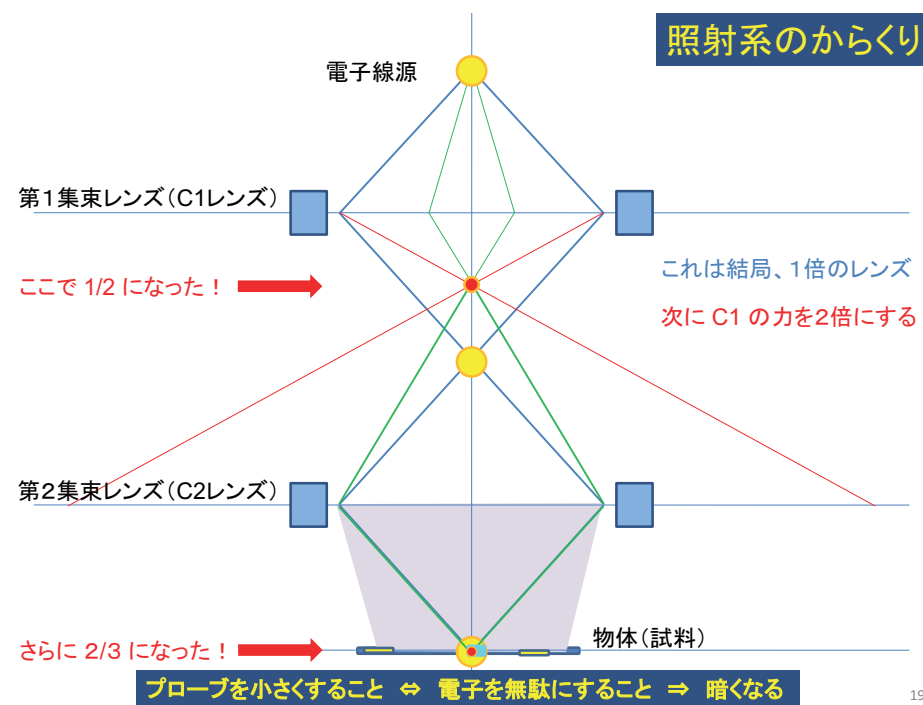
17

照射系のからくり



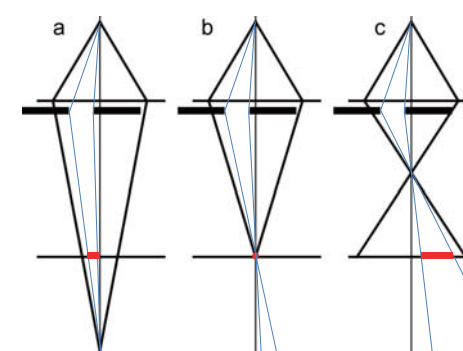
18

照射系：しづりの意味

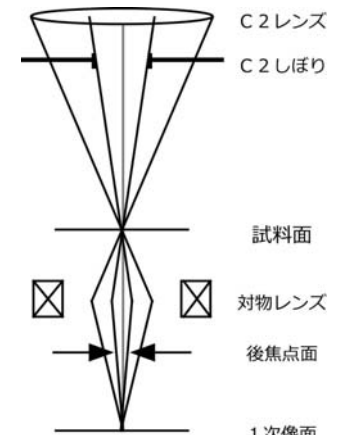


19

1. スクリーン上の位置と明るさ



2. 後焦点面のディスクの大きさ



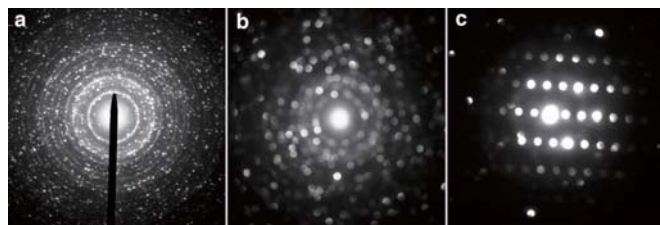
20

同一絞り位置でもスクリーン上では照射領域が移動

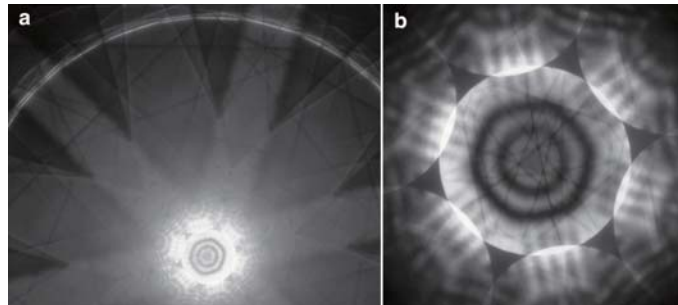
照射系の絞りの中心は光軸上にあるべき

そのときコンデンサレンズの励磁を  
変えると同心円状に変化

## ビームを絞ることによる回折パターンの変化

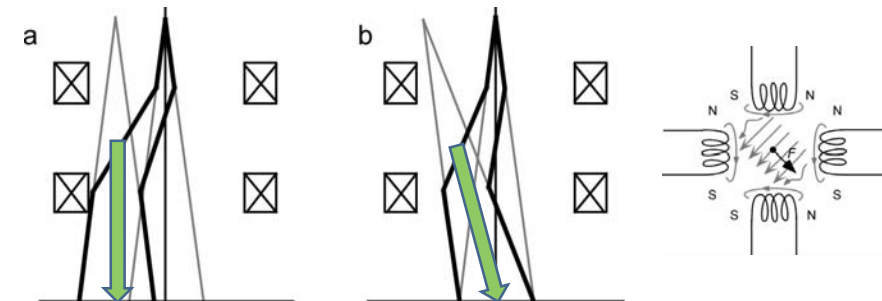


CBED : 集束電子線回折



21

## ビームシフトとビームティルト



物理的には二組の同じ四重極コイルの電流値を変えているだけ



ヒステリシスがあり、現実にはティルトを変えるとビームがずれる場合もある



軸上暗視野の設定後、照射領域がずれていないか要確認！

22

## 回折現象

23

## ドゥブロイ波: すべての物質は波である

$$\text{速さ } v \text{ (m/sec)}$$

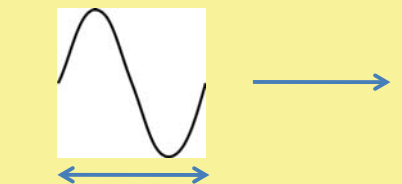
重さ  $m \text{ (kg)}$

$$\lambda = \frac{h}{p} = \frac{h}{mv} \sqrt{1 - \frac{v^2}{c^2}}$$



Louis de Broglie (1892-1987)

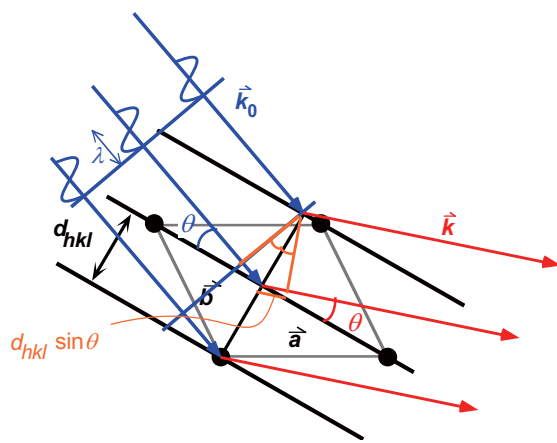
$c$  :光の速さ  
 $3.00 \times 10^8 \text{ m/sec}$   
 $h$  :プランク定数  
 $6.626 \times 10^{-34} \text{ J}\cdot\text{sec}$



走る電子も波の性質を持っている！

24

## Bragg 条件

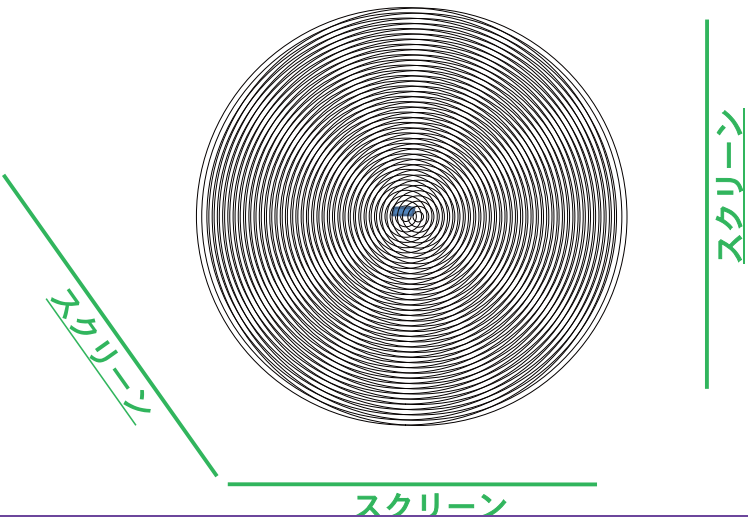


$$\lambda = 2d \sin \theta$$

25

## 干渉模様のパターンの特徴

パターンの間隔と出現する方向（スクリーンの位置）に注意



強いピーク位置は原子の間隔に反比例(間隔がわかる)

26

## 回折：要するに波の干渉

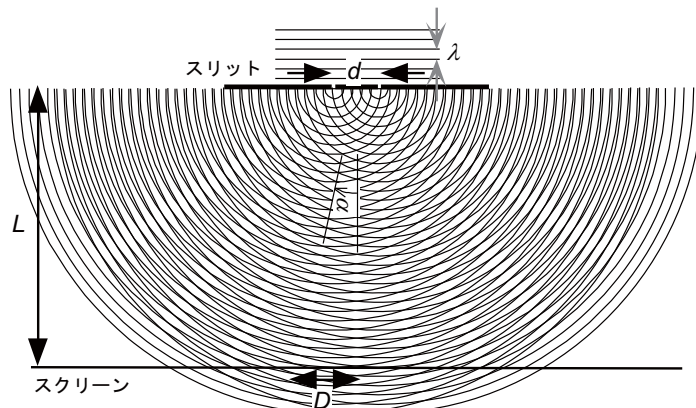


図 1 スリットを通して波による干渉

$$D \propto \frac{\lambda L}{d} \left( \rightarrow D \propto \frac{\lambda L}{d/2} \rightarrow \lambda \propto 2d \frac{D}{L} \rightarrow \lambda \propto 2d \sin \theta \right)$$

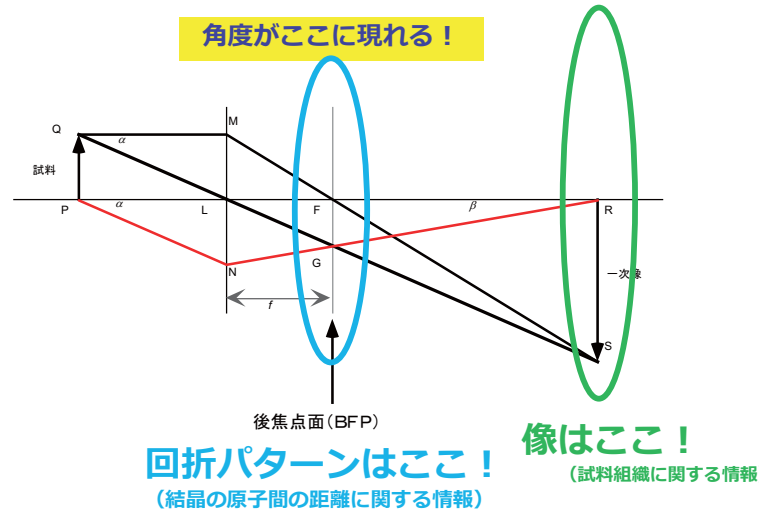
27

## TEM の DIFF の要点

回折現象を電子顕微鏡の光学系で理解  
できているか？

28

電子顕微鏡では（レンズがあるので）回折パターンと像の両方を観れる！

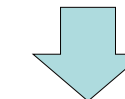


レンズの後ろの回折パターンが現れる位置を後焦点面という

レンズを用いて回折パターンを BFP に投影しているので、

- ・対物レンズの励磁
- ・試料の位置（高さ）

は毎回、一定でなくてはならない

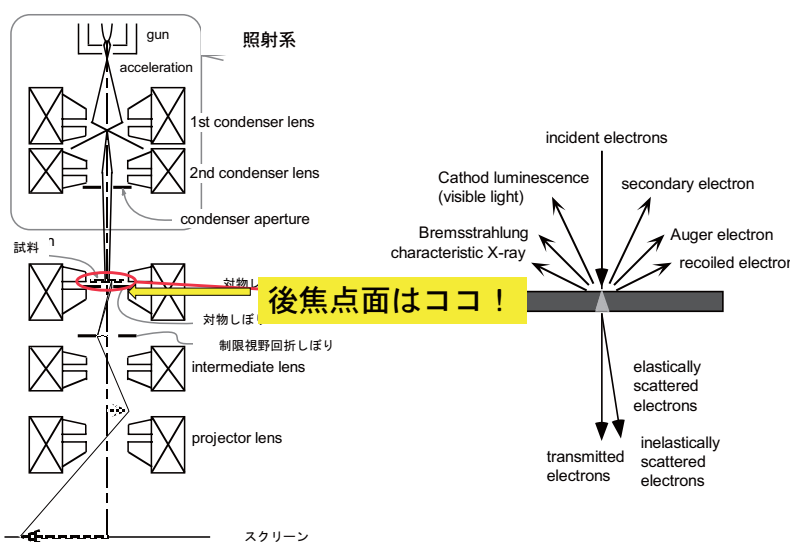


観察前に次の2点を必ず確認してください

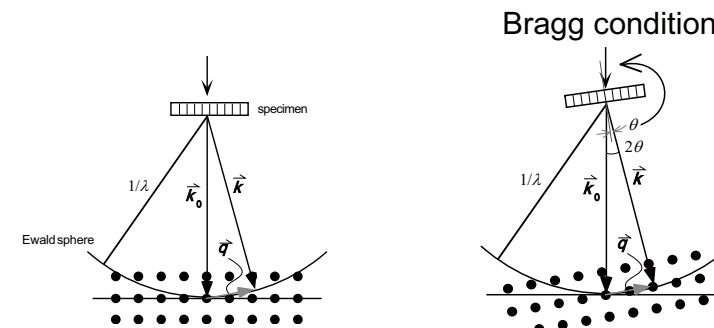
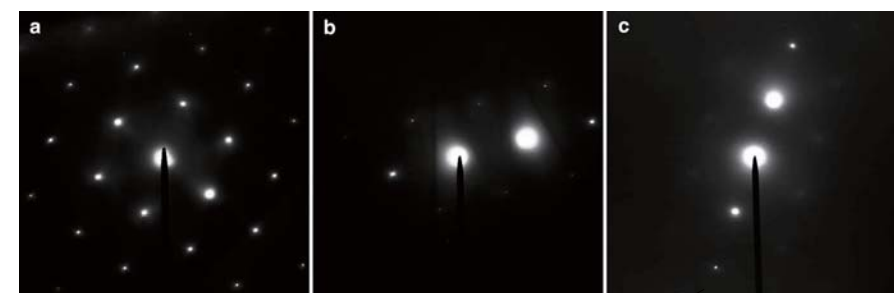
- ・スタンダードフォーカスボタンを押す  
もしくは、対物レンズの標準電圧値に手動で調節する
- ・そのうえで試料高さを合わせる  
(ミニマムコントラストとなるようにzを調整)

30

### 照射系と対物系の組み合わせ



31

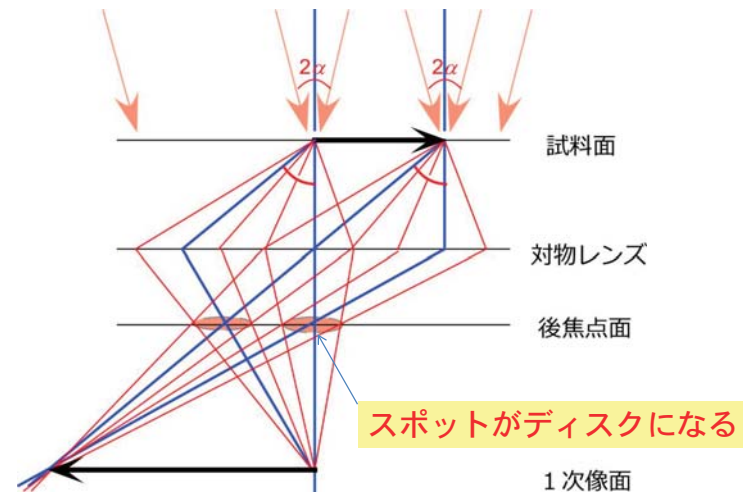


32

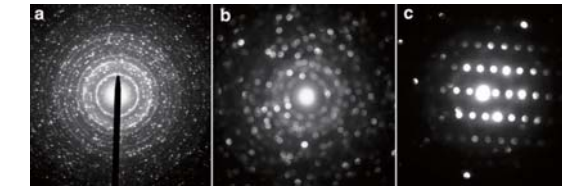
## ここまででは理想的な光学系 (gaussian optics) の話



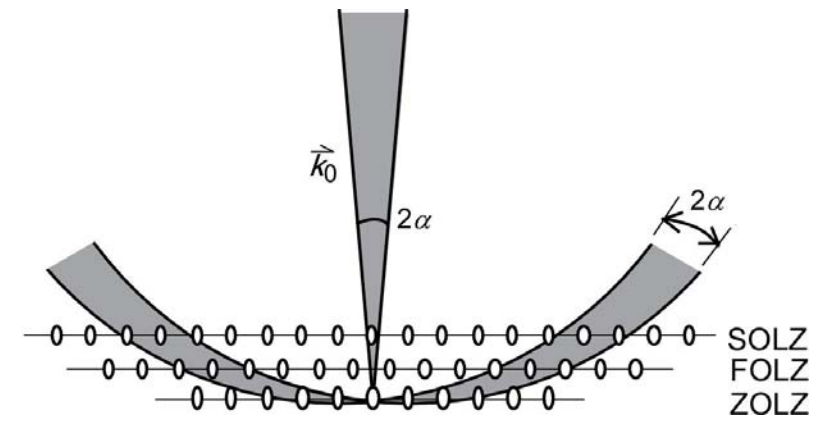
電顕では試料に対してビームを自由に集束でき、かつ傾斜できる



33



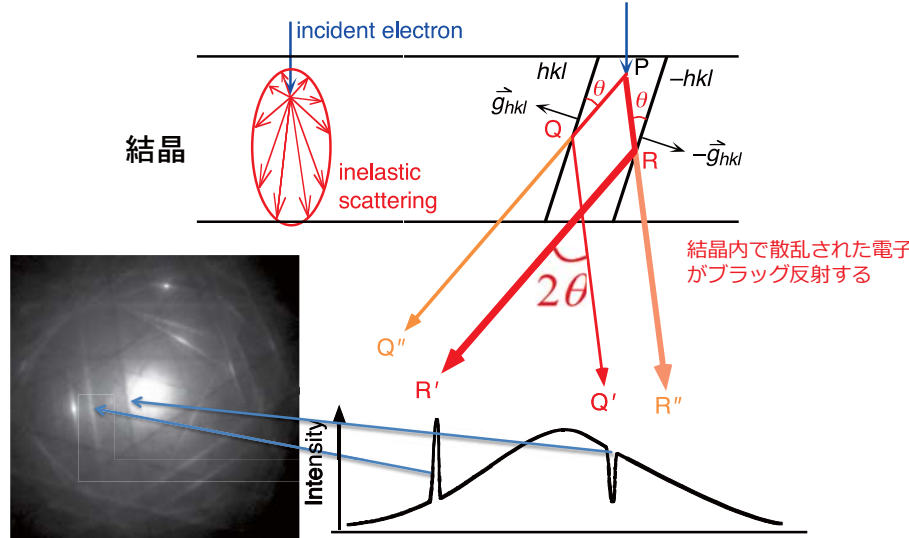
ディスクになるだけでなく、回折波の積分強度も増える



34

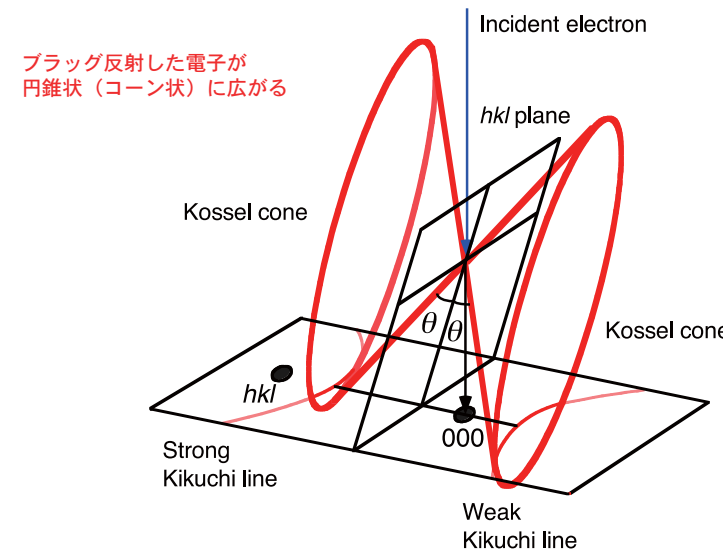
結晶方位を見る：非弾性散乱した波の回折現象

## Kikuchi 線と Kikuchi バンド



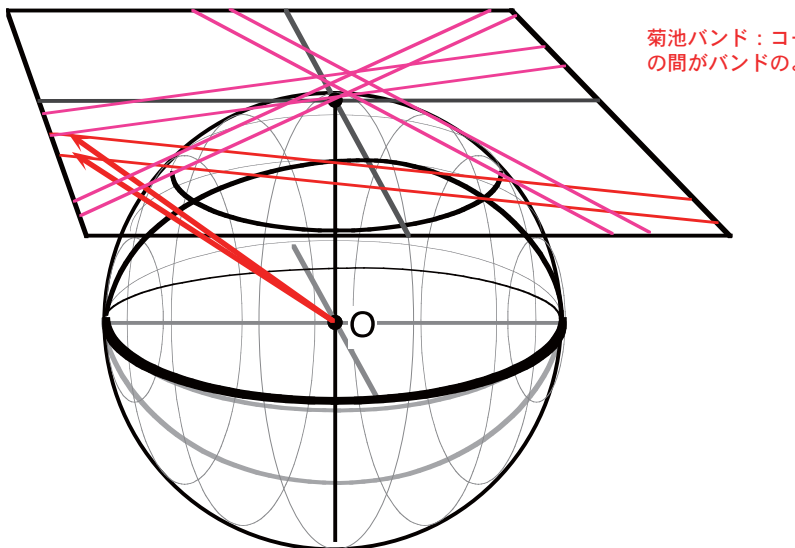
35

## 菊池線とコッセルコーン



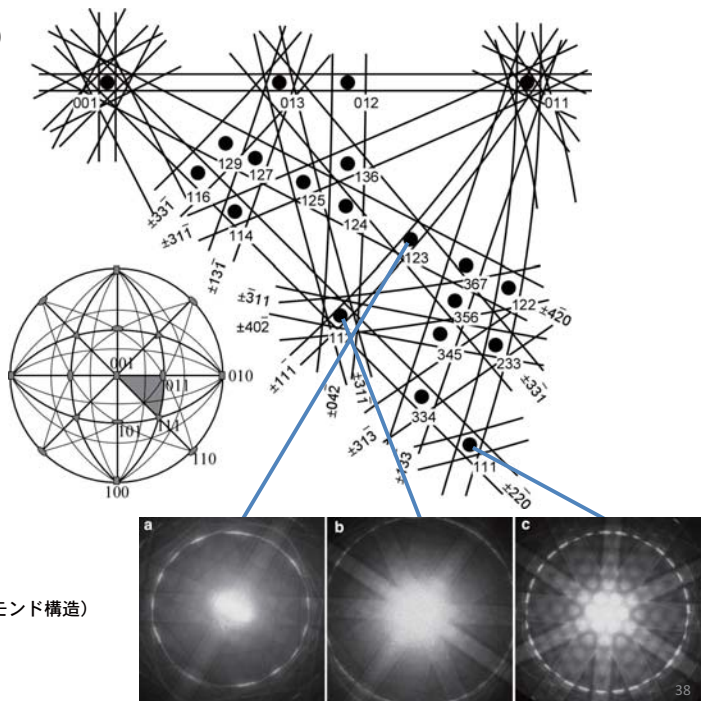
36

## 菊池バンドを投影する



37

## Kikuchi Map (fcc)

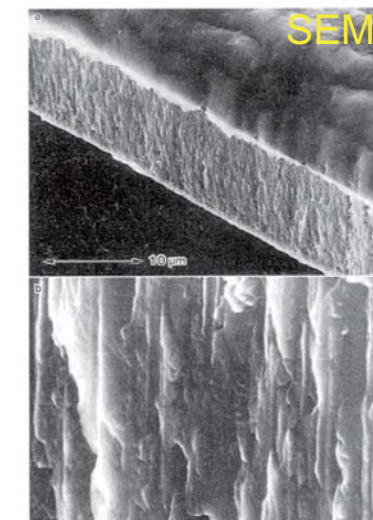


38

## ケーススタディ：Fe-Cr-N 磁性薄膜における垂直磁気異方性の起源

### Fe-Cr-N 薄膜の磁性と構造

## Fe-Cr-N スパッタ薄膜の構造



### X線回折パター

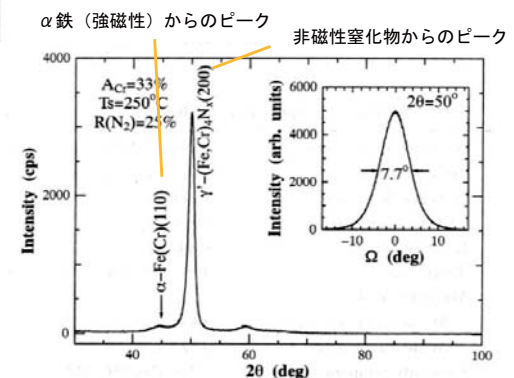


Fig. X線回折からは磁性体の鉄が非磁性の窒化物が存在していることが判明！

薄い試料を割って SEM で観察すると柱状に 鉄とクロムと窒素の化合物が成長していることがわかる

39

40

## Fe-Cr-N スパッタ薄膜の磁化曲線

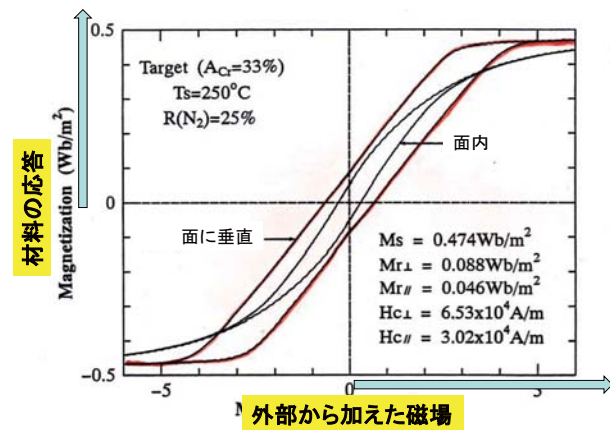


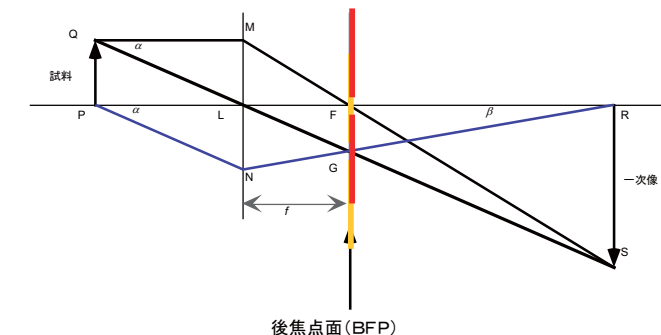
Fig. 1. Magnetization curves at room temperature in magnetic fields parallel and perpendicular to  $\text{Fe}_{71}\text{Cr}_{20}\text{N}_9$  film planes.

D.L. Peng, T.J. Konno, K. Sumiyama, H. Onodera, K. Suzuki  
J.Magn.Magn.Mater. 172 41-52 (1997)

試料面に垂直方向に対して保持力が高い！

41

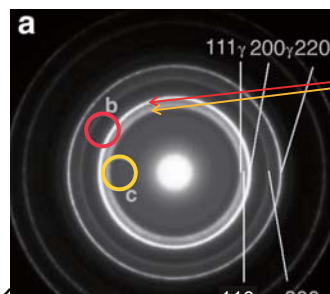
## 明視野像と暗視野像



着目している一種類の結晶からの回折波のみを用いて結像できる ⇒ 異なった結晶を分けて観れる。

42

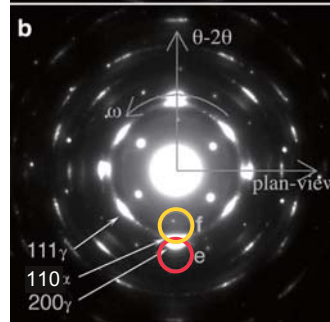
暗視野



二つ回折リングが接近している

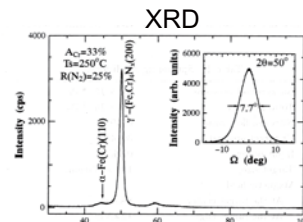
試料を上からみたときの干渉パターン

横から



二つの相を区別できない

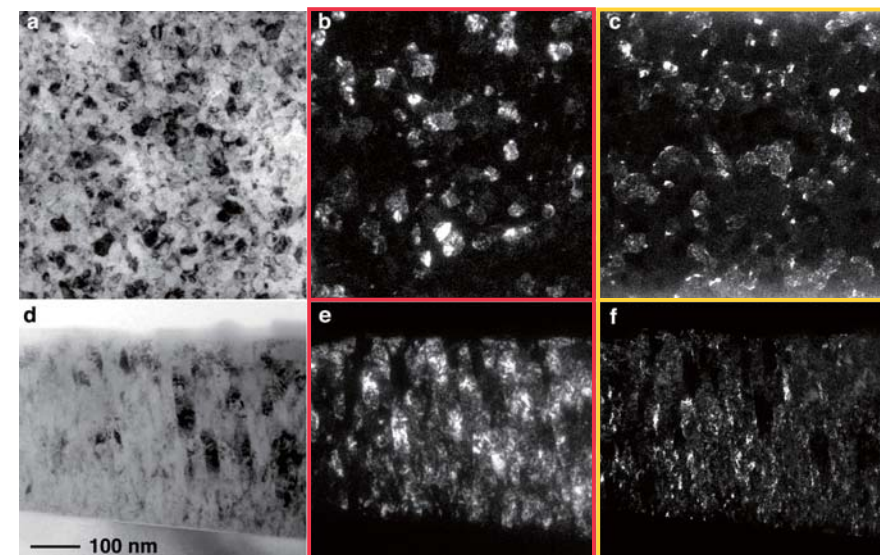
…ディスクとなってしまい、隣の絞りに電子がはいってしまう



後焦点面（回折パターン）に絞りをいれて、結像に寄与する電子を選択する

43

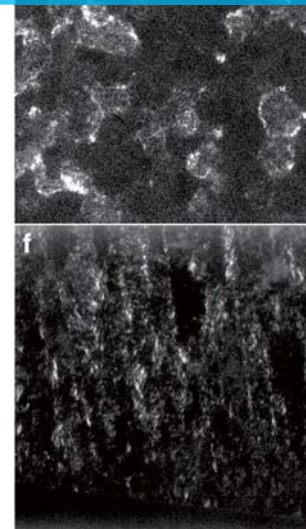
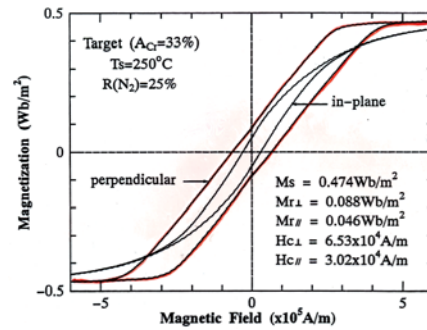
## 明視野像と暗視野像



44

## 磁性を持つ鉄が結晶粒の隙間に細く成長していくことがわかる

暗視野像の威力！



垂直磁気異方性の原因は非磁性の  
Fe<sub>4</sub>Nの粒界に存在するFe相にあつた

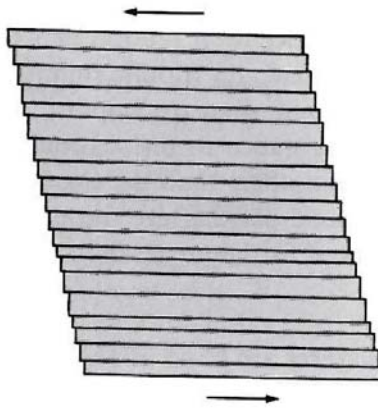
形状磁気異方性 > 結晶磁気異方性

45

## 歪みの可視化

それでは結晶の局所的乱れ（格子欠陥）は観れるのか？  
(同一種類の元素なので特性X線はダメ)

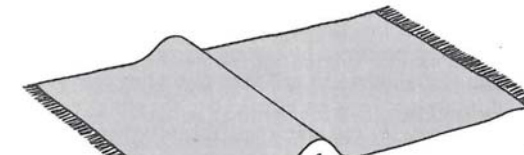
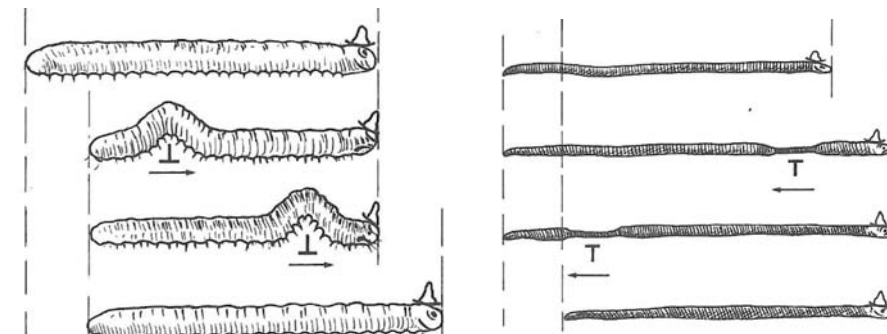
## 結晶の変形



せん断応力に対し、ずれるように変形する

47

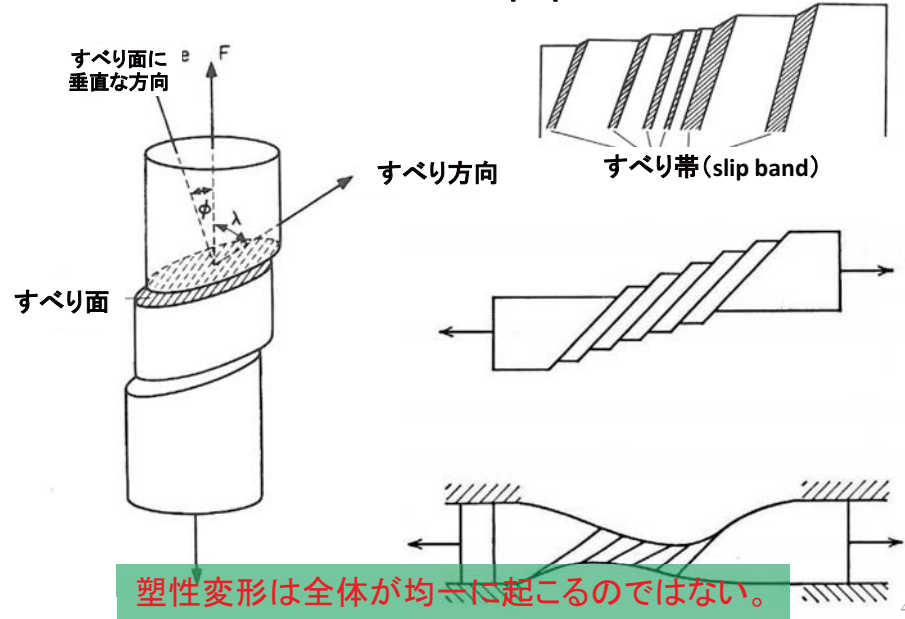
## 転位(dislocation)



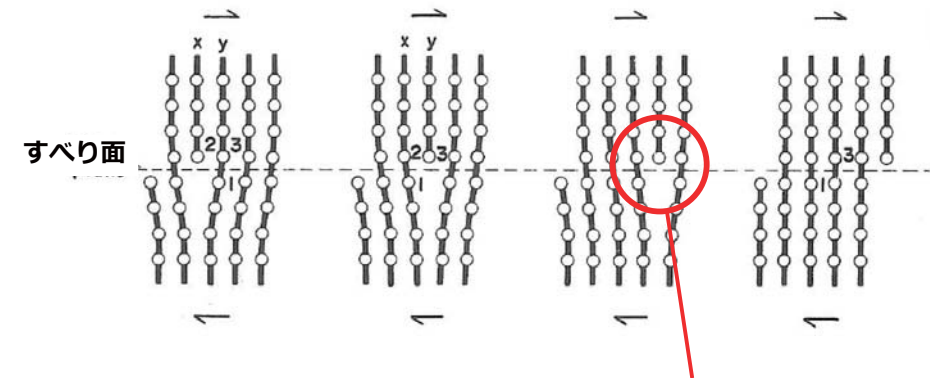
局所的な変形領域が移動することによって、全体として変形する

46

## すべり面(slip plane)



## 転位の動き(刃状転位)と変形



電子顕微鏡やエックス線を用いると局所的な原子配列の乱れを検出できる。（動力学的效果）

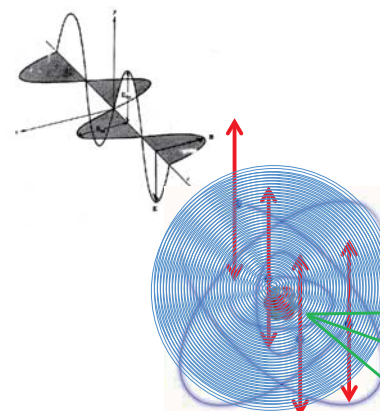
50

## 動力学的理論

51

そもそもエックス線や電子が原子にあたるとどうなるか？

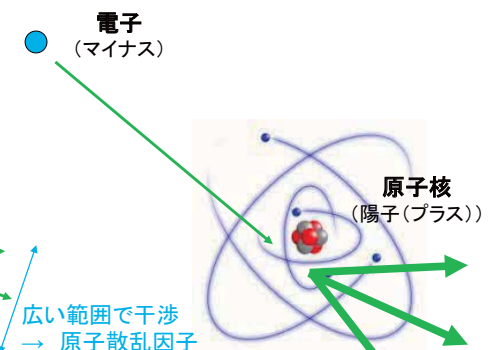
エックス線の場合



電子が一齊にゆれ、波を発生する

電子線はエックス線より (1000倍くらい)  
強く散乱される → 薄い試料で回折が起こる

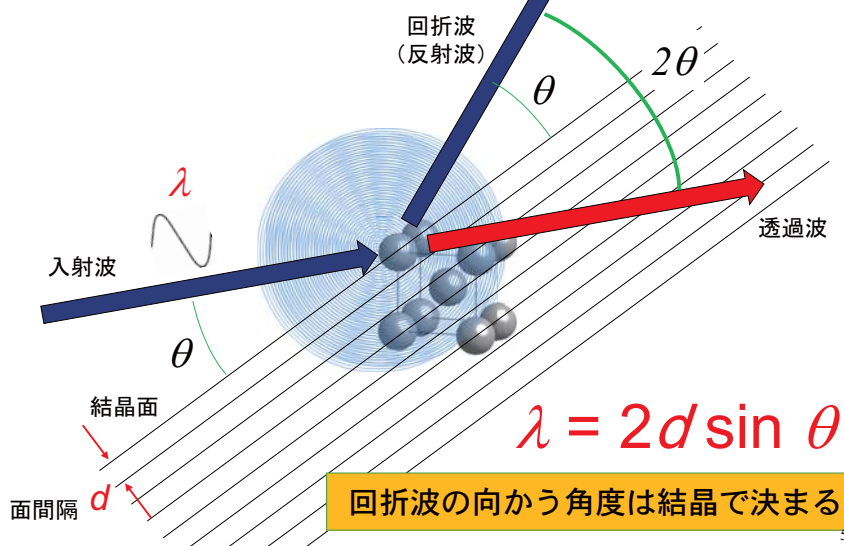
電子線の場合



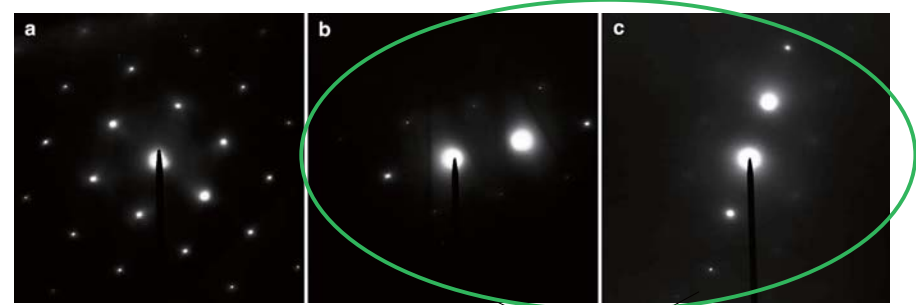
原子核の引力(ポテンシャル)で  
次の状態に遷移する(方向が変わる)

52

## 散乱をただの反射と考える

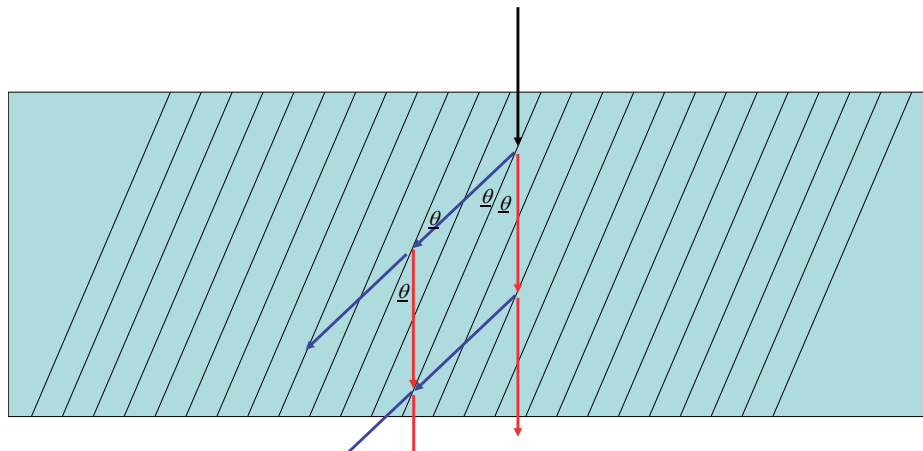


53



54

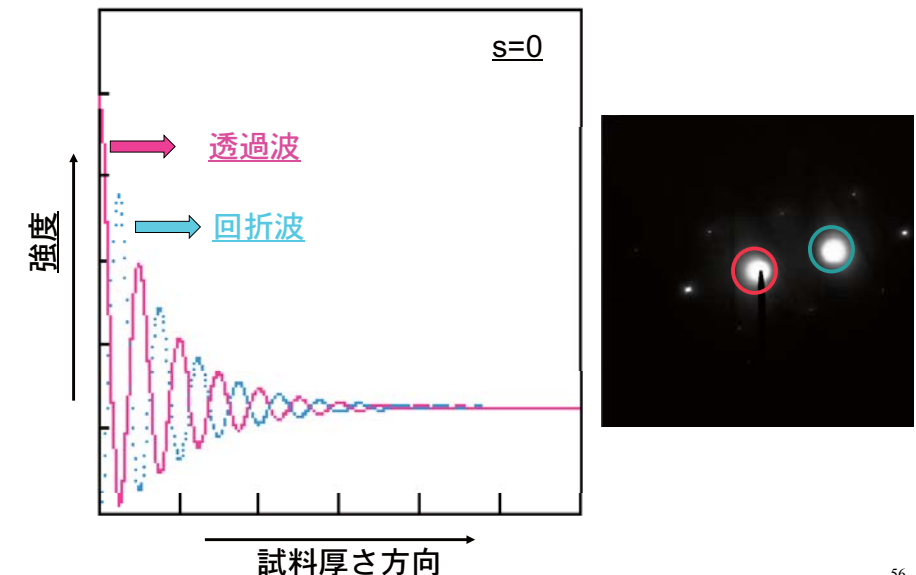
## 多重散乱



動力学的効果：透過波と回折波が結晶面を媒介として行ったり来たりする。  
(二波条件)

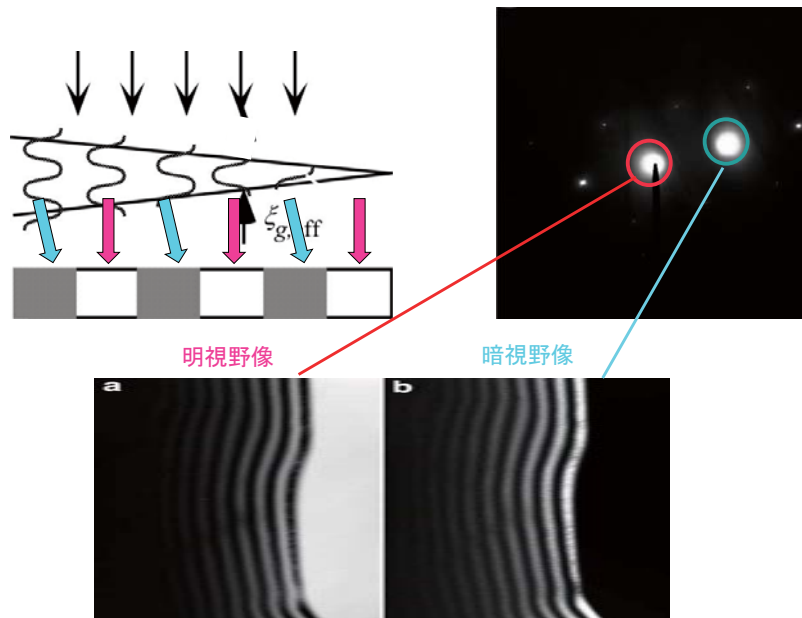
55

## 動力学効果：二つの波が行ったり来たり (二波条件)



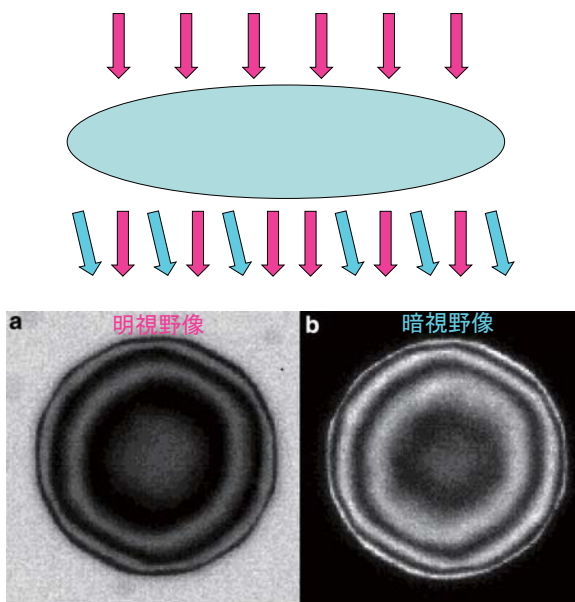
56

たとえば試料がくさび形だと。。。



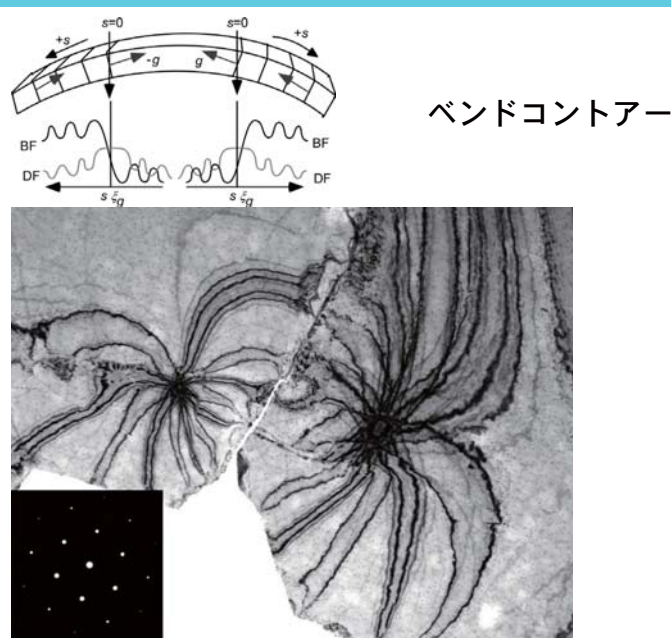
57

まるい粒子だと。。。



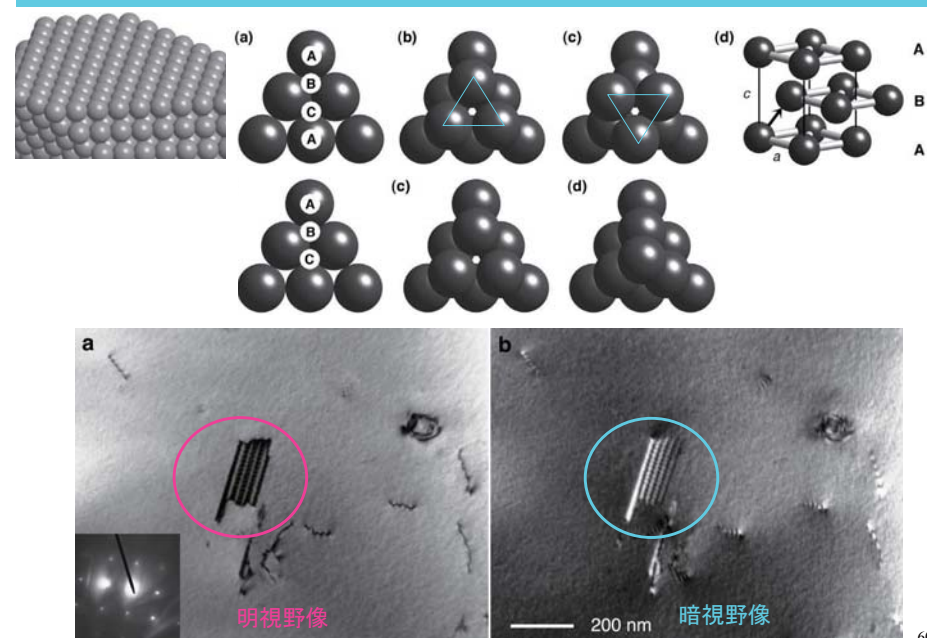
58

実際の試料は曲がっているので、こんな風に見えたりする。。。



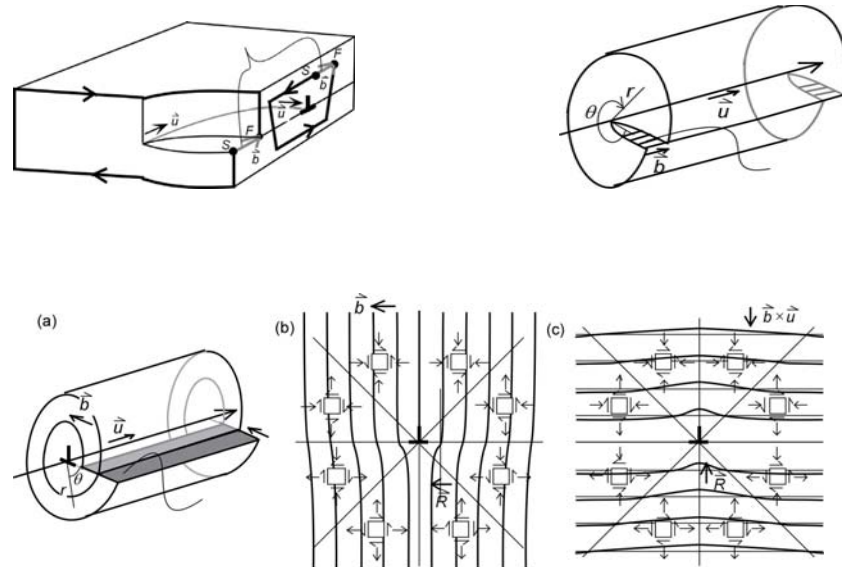
59

実際の材料は欠陥だらけ。。。



60

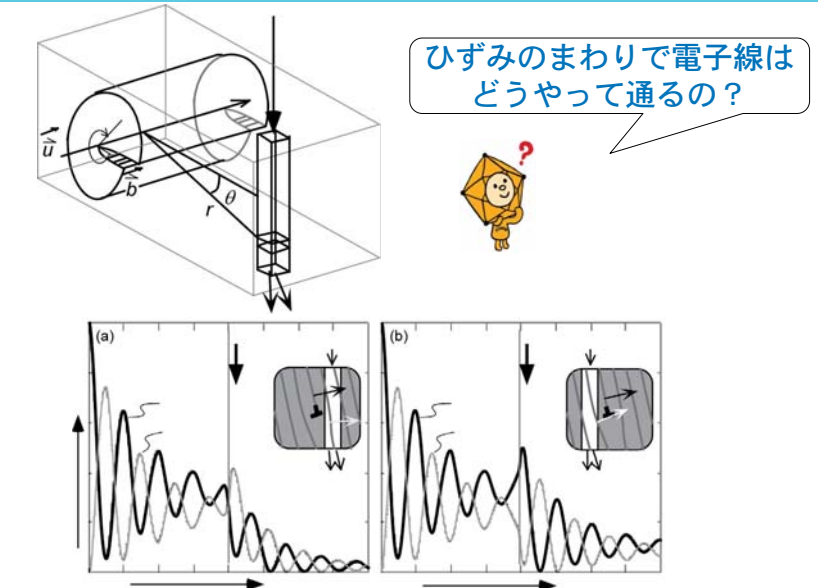
実際の材料は欠陥だらけ。。。 その2



転位があると周囲はひずむ

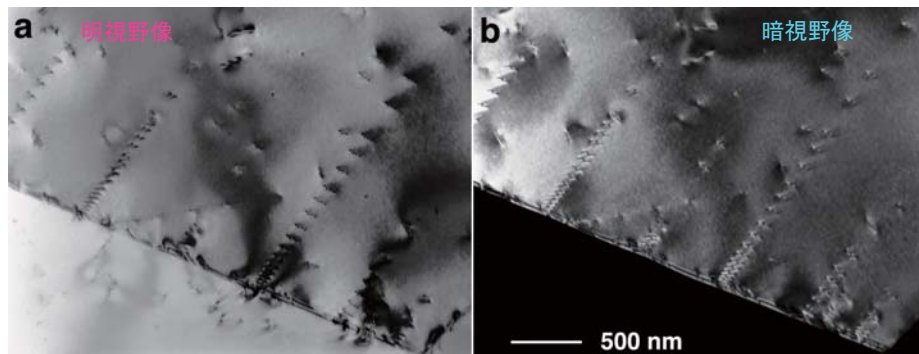
61

ひずみ場を観てみよう！



ひずみがあると透過波と回折波のやりとりが乱される！ 62

ひずみ場を観てみよう！



結晶粒界で転位はとまってしまう(材料は変形しない)！

63



ステンレス鋼中の転位の観察（結晶粒界で変形が止まっている）  
(転位の周囲の歪みを可視化している)

64

## 軽量高強度材料の開発

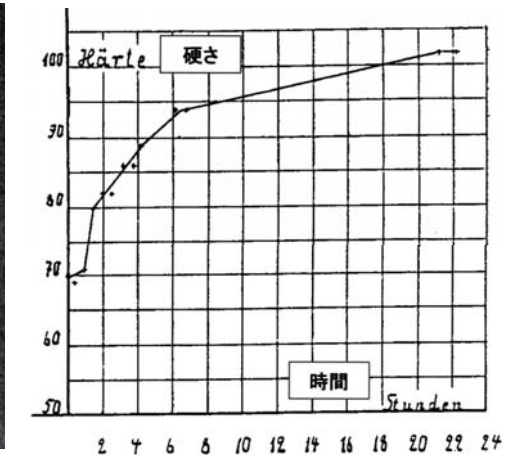


ナノスケールでの現象：  
サブナノ～ナノオーダーの化合物が母相に析出することにより材料の強度を確保

析出相を同定し、その析出相の構造と分散状態を  
制御することが重要

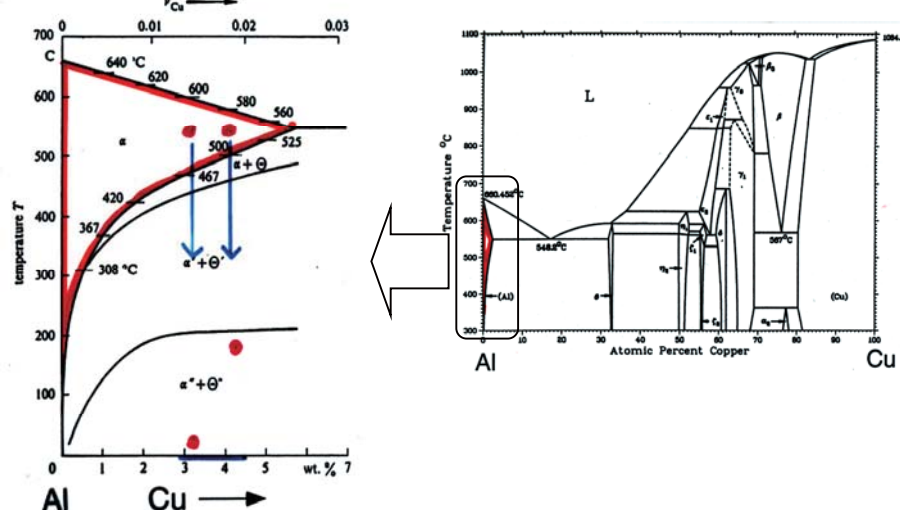
65

## Alfred Wilm (1869–1937)



66

## Al-Cu 系状態図

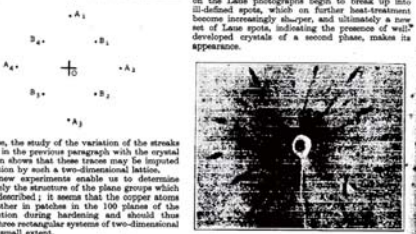


状態図：どのような構造（原子の並び方）が組成と温度に対して安定に存在する領域を示す地図

67

## No. 3895. SEPT. 24, 1938 NATURE

We may therefore regard this diagram as the diffraction figure of a two-dimensional lattice, which would be identical with a plane 100 of an aluminum crystal.



In addition to the metallurgical interest of these observations, the results suggest that application of X-ray methods may throw light on the details of the mechanism of chemical reactions in solidified alloys.

ANTOINE GUINIER, Laboratoire de Physique, Ecole Normale Supérieure, Paris, France.

C.R. 200, 1541 (1938) and C.R., 1972 (1938).

G. D. FAXON, National Physical Laboratory, Teddington, Middlesex, England.

J. Proc. Roy. Soc. A, 186, 813 (June 15, 1938).

## Letters to the Editor

The Editor does not hold himself responsible for opinions expressed by his correspondents. He cannot guarantee to return, or to communicate with the writers of rejected manuscripts. He cannot guarantee to return, or to communicate with the writers of rejected manuscripts.

NOTES ON FORM IN WHICH THE LETTERS APPEAR OF P. 278.

CORRESPONDENTS ARE INVITED TO ATTACH SIMILAR SUMMARIES TO THEIR COMMUNICATIONS.

Effect of Increasing Doses of X-Radiation on Colloidal Gold

Some time ago, in a communication from this Department, it was shown that a dose of increasing doses of X-radiation caused an alternate increase and decrease in the electrokinetic potential of gold in aqueous suspensions, and that at the same time (a dilution of "Aquagard" in water) is perfectly stable, and at no stage were there any signs of coagulation. It was suggested that the effect of the more sensitive colloid decreased in potential at the initial stage of the curve might be due to the bringing of the particles closer together, and at a later stage Dr. Löschmann and Mr. Jones had been working.

After irradiation in a quartz dish by measured doses of X-radiation, the specimens of the oil were

made monochromatic by reflection by a crystal.

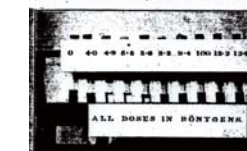
In a previous paper, we described a new method of analysis of such spectra, and in these diagrams: streaks of various intensities from the centre, which we attributed to the presence of a second phase.

We have shown that these streaks are produced by a single rectangular plate of copper, a crystal of solid solution, and, moreover, that they are of small dimensions (100-400 Å.). We assume that the streaks in these diagrams are composed of groups of copper atoms, and in particular making any hypothesis about the dimensions of these groups within those groups.

Continuing our study of these alloys (among other things we have made use of molybdenum radiation besides that of copper), two other phenomena were noticed:

(1) When the intensity produced by the X-ray reflection by the 111, 110, 112 planes was measured, one or two streaks started of varying intensity, and the streaks of the first group of 8-10 rings were completely coagulated, and exposed to a dose of 5-6 roentgens very largely so that the streaks of the second group of rings exposed to larger doses (8-12.8 r.) show no signs of coagulation, and the streaks of the second group of rings, after a dose of 12.8 r., show no signs of coagulation, indicating the onset of a new sedimentation dose.

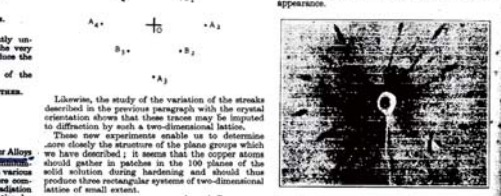
These results are completely reproducible, for the given sol, and measurements with the ultra-microscope show that the primary precipitation occurs, in fact, those which produce the reduction in the electrokinetic potential of the particles. The reduction of the size of the particles is interesting fact, that at any rate for certain doses of solutions, a comparatively small dose of X-radiation may produce complete precipitation, while a dose of



transferred immediately to well-cleaned pyrex test tubes, and allowed to stand for a few hours. As will be seen from the attached photograph, spectrum of the first group of rings shows a dose of 8 r., and the 8-10 rings were completely coagulated, and exposed to a dose of 5-6 roentgens very largely so that the streaks of the second group of rings exposed to larger doses (8-12.8 r.) show no signs of coagulation, and the streaks of the second group of rings, after a dose of 12.8 r., show no signs of coagulation, indicating the onset of a new sedimentation dose.

These results are completely reproducible, for the given sol, and measurements with the ultra-microscope show that the primary precipitation occurs, in fact, those which produce the reduction in the electrokinetic potential of the particles. The reduction of the size of the particles is an interesting fact, that at any rate for certain doses of solutions, a comparatively small dose of X-radiation may produce complete precipitation, while a dose of

considerable extent, of the order of 10<sup>9</sup> Å., but still very thin, of the order of 10 Å., is still able to coagulate, the hardening falls slowly and the streaks on the Laue photographs begin to break up into smaller ones, and further heat-treatment become increasingly sharper, until finally a single set of Laue spots, indicating the presence of well-developed crystals of a second phase, makes its appearance.



Likewise, the study of the variation of the streaks in the previous paragraph with the crystal orientation, and the effect of the dose, can be applied to diffraction by such a two-dimensional lattice.

These new experiments enable us to determine the size of the second phase, and the orientation which we have described; it seems that the copper atoms should gather in patches in the 100 planes of the second phase, and that the dose of X-radiation which produces three rectangular plates of two-dimensional lattice of the second phase.

AMAND GUINIER, Laboratoire de Physique, Ecole Normale Supérieure, Paris, France.

C.R. 200, 1541 (1938) and C.R., 1972 (1938).

G. D. FAXON, National Physical Laboratory, Teddington, Middlesex, England.

J. Proc. Roy. Soc. A, 186, 813 (June 15, 1938).

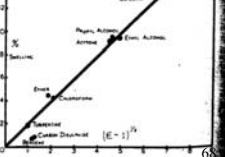
The swelling of Birch Wood

M. HASSELBLAD<sup>1</sup> has measured the maximum linear tangential swelling of birch wood in a number

of different liquids. An account of his results shows that they appear to fit the relation

$$x = aV^{-1}$$

where  $x$  is the swelling measured as an extension per



<sup>1</sup> Present address: Institute of Technology, Lund, Sweden.

68

## 教科書に載っている析出強化機構

(要するに結晶中に異物をおき、転位の動きを止める)

coherent transition 'phases'

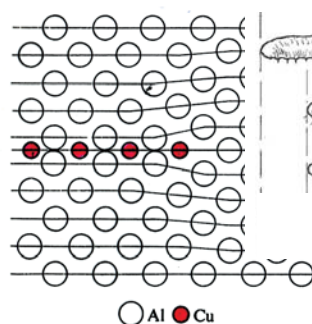
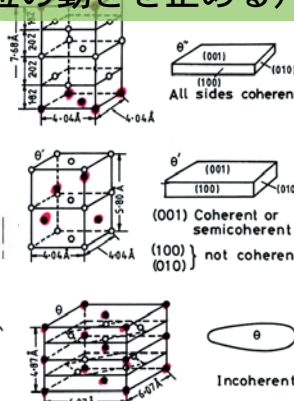


Fig. 8.6 Section through a Chained Precipitation zone/CPD model (a)



## アルミニウムの中に銅が析出 (GPゾーン)

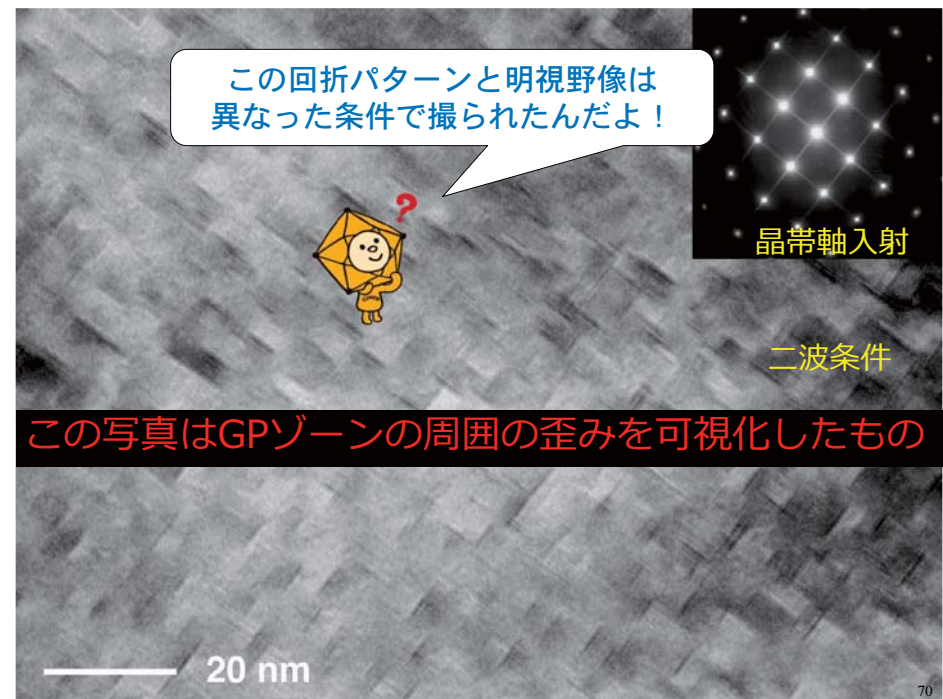
by P. Haasen

*In Metals and Alloys*

by D.A. Porter & K.E. Easterling

GP-I → GP-II ( $\theta''$ ) →  $\theta'$  →  $\theta$

69

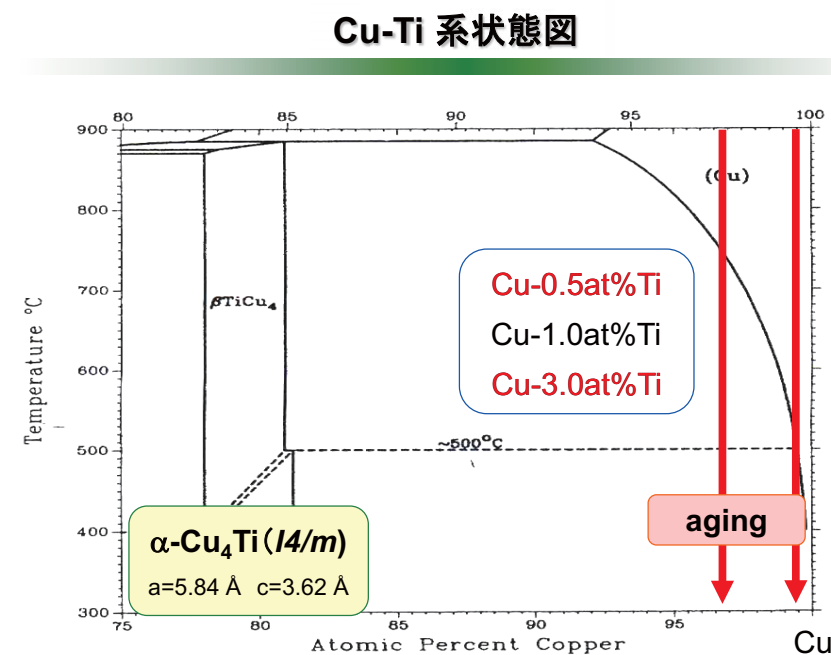


70

## 動力学的理論に基づくコントラストの応用例：2

Cu-Ti 合金の場合

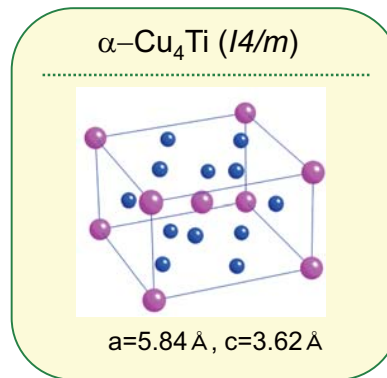
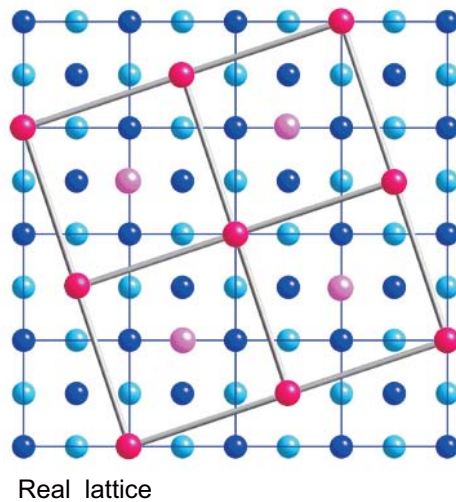
71



72

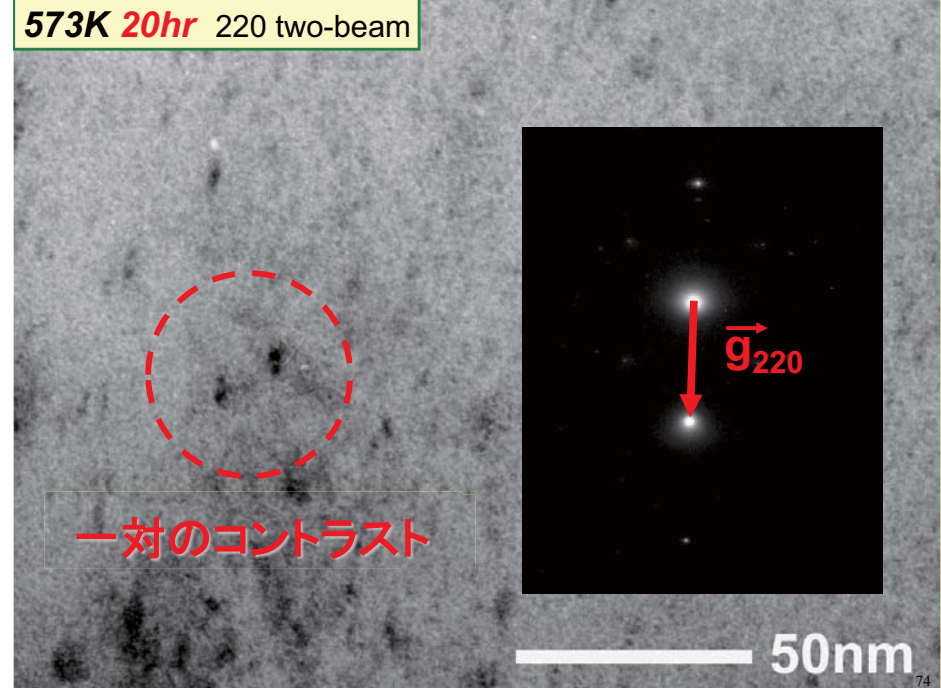
$\alpha\text{-Cu}_4\text{Ti}$  析出相 : f.c.c. Cu マトリックスと整合性をもつ正方晶

方位関係:  $[001]_{\alpha} \parallel [001]_{\text{fcc}}$  &  $(100)_{\alpha} \parallel (310)_{\text{fcc}}$



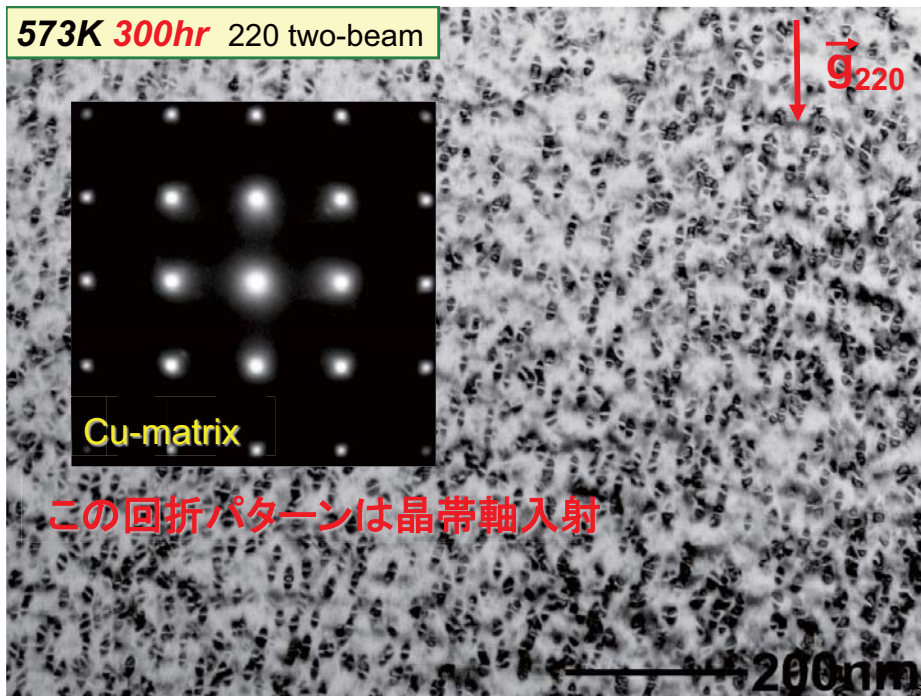
73

573K 20hr 220 two-beam

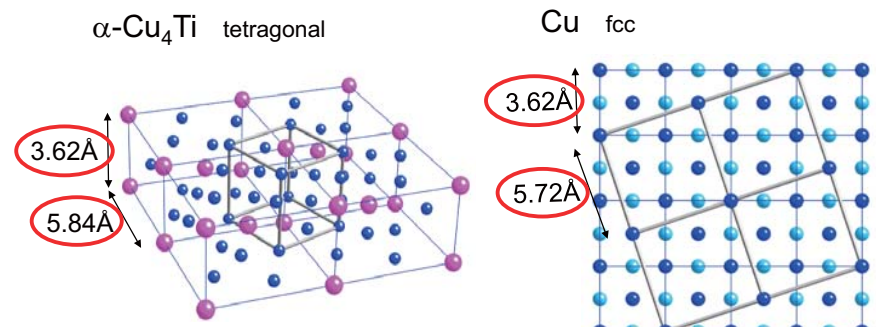


74

573K 300hr 220 two-beam



Lattice mismatch between  $\alpha\text{-Cu}_4\text{Ti}$  and Cu



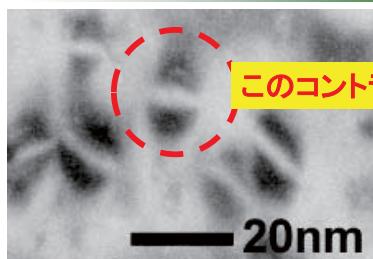
Orientation Relationship :  $[001]_{\alpha} \parallel [001]_{\text{fcc}}$  &  $(100)_{\alpha} \parallel (310)_{\text{fcc}}$

→ Lattice mismatch: 2%

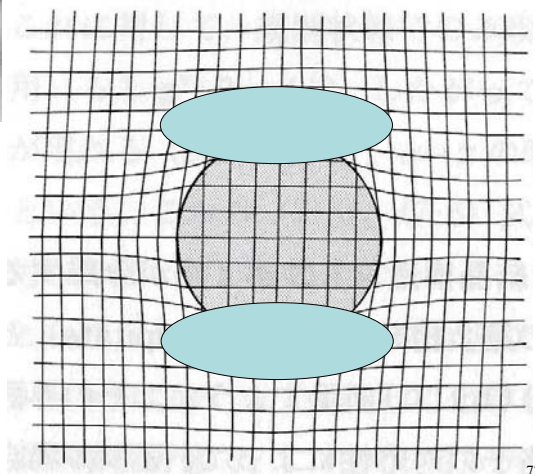
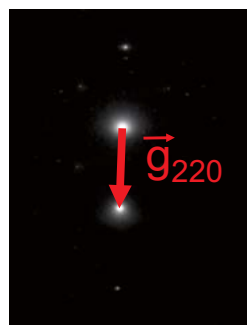
→ Generates compressive strain fields around precipitate

76

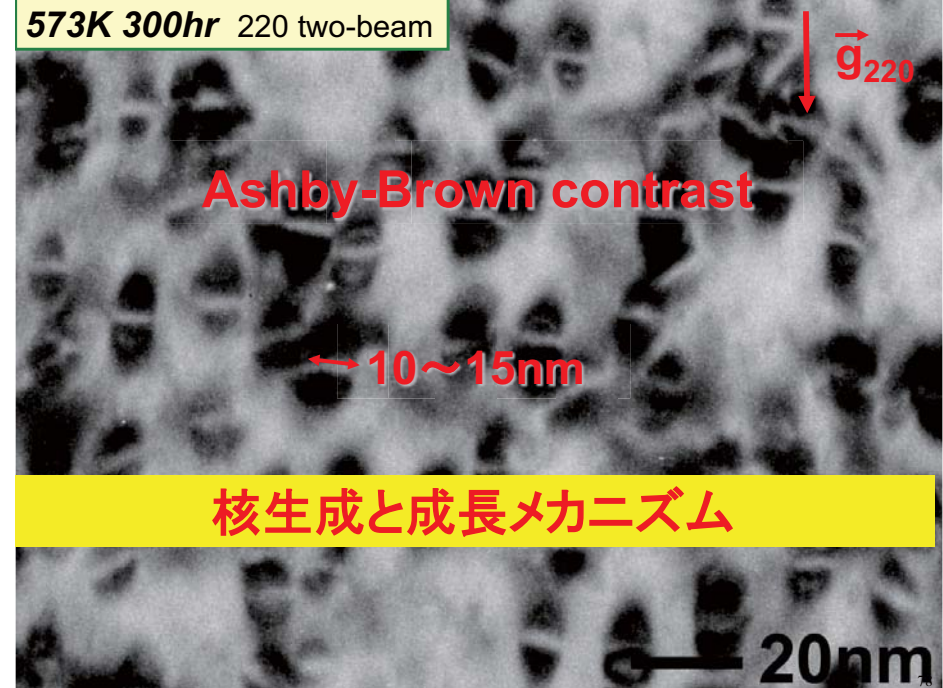
## Ashby-Brown コントラスト



このコントラストは二波条件によって変化する！

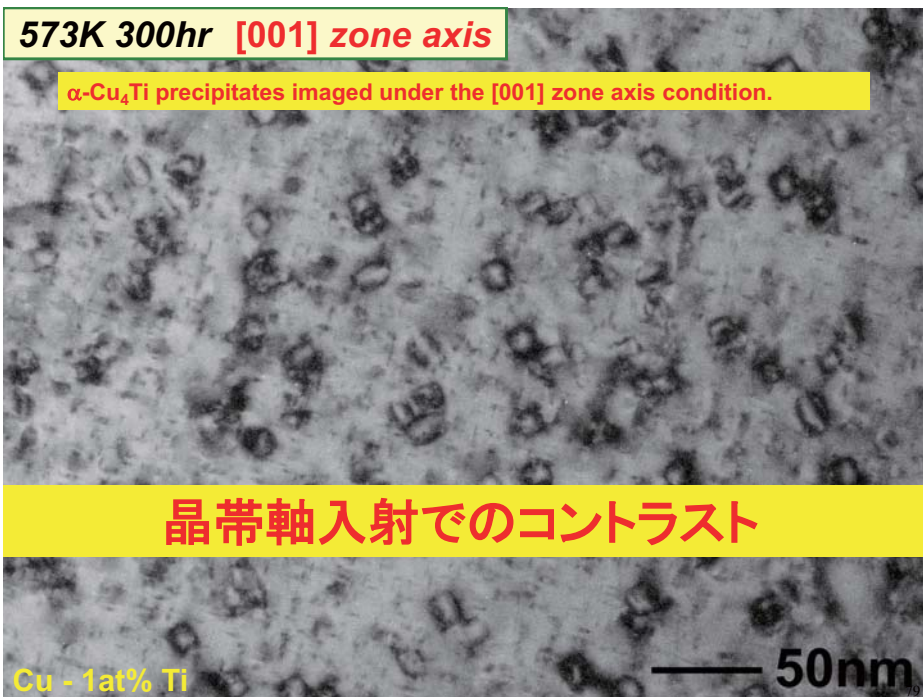


573K 300hr 220 two-beam



573K 300hr [001] zone axis

$\alpha\text{-Cu}_4\text{Ti}$  precipitates imaged under the [001] zone axis condition.



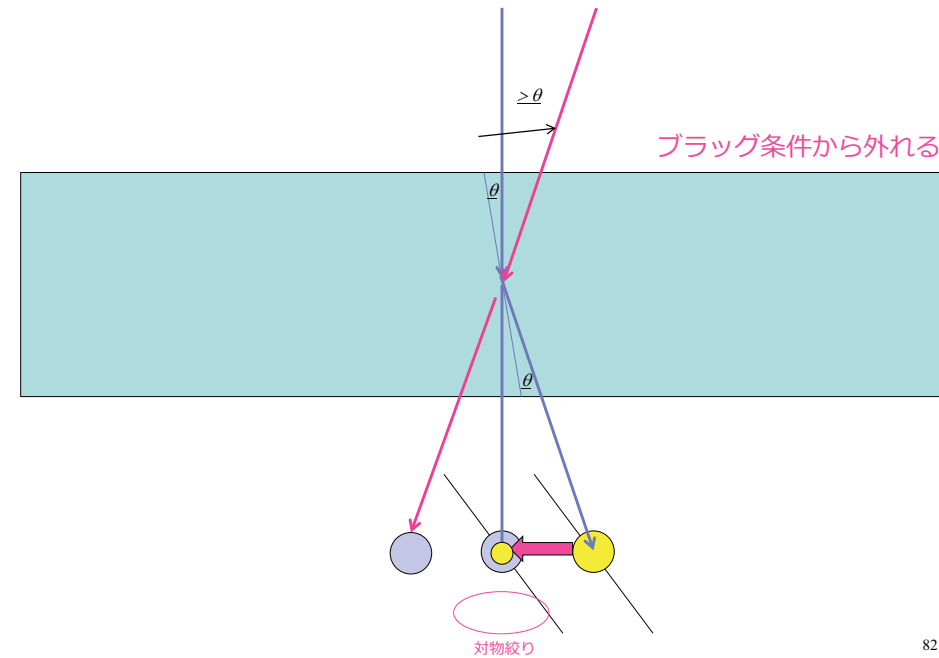
## 二波条件の実際

軸上暗視野とウィークビーム法



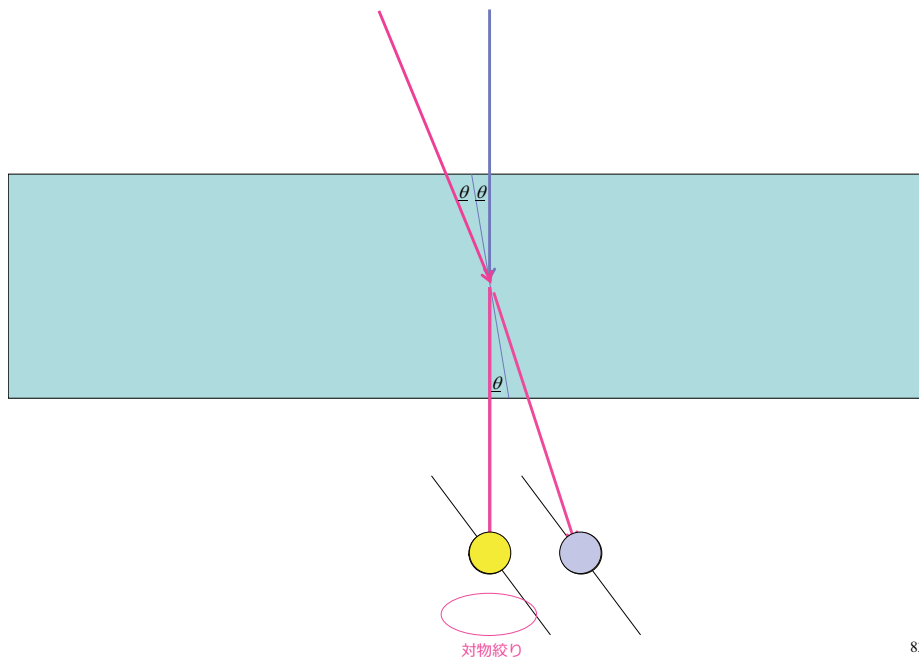
81

プラッグ条件を満たした回折スポットを絞りの位置にもってくると ...



82

プラッグ条件を満たしている  $hkl$  面の裏側に入射波を移動させる！



83

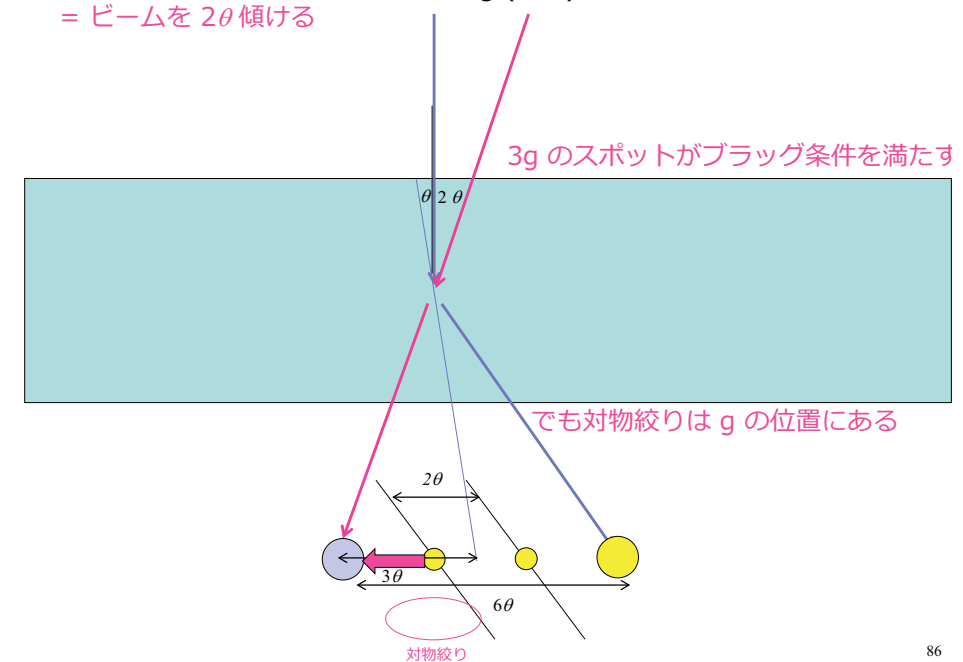


84

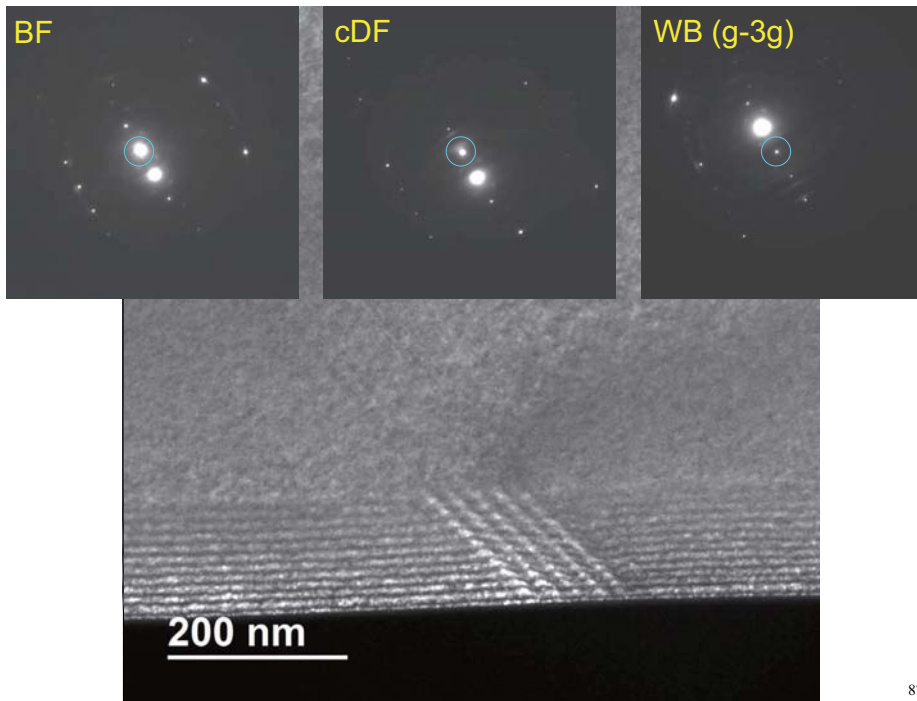


85

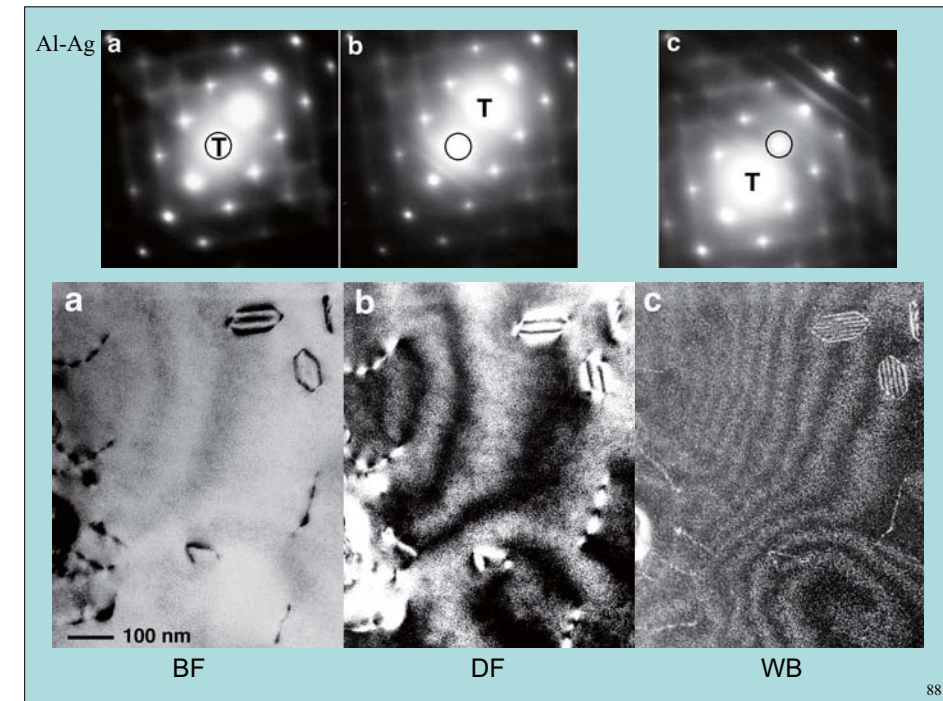
プラグ条件を満たした回折スポット  $g (=2\theta)$  を絞りの位置にもってくる  
= ビームを  $2\theta$  傾ける



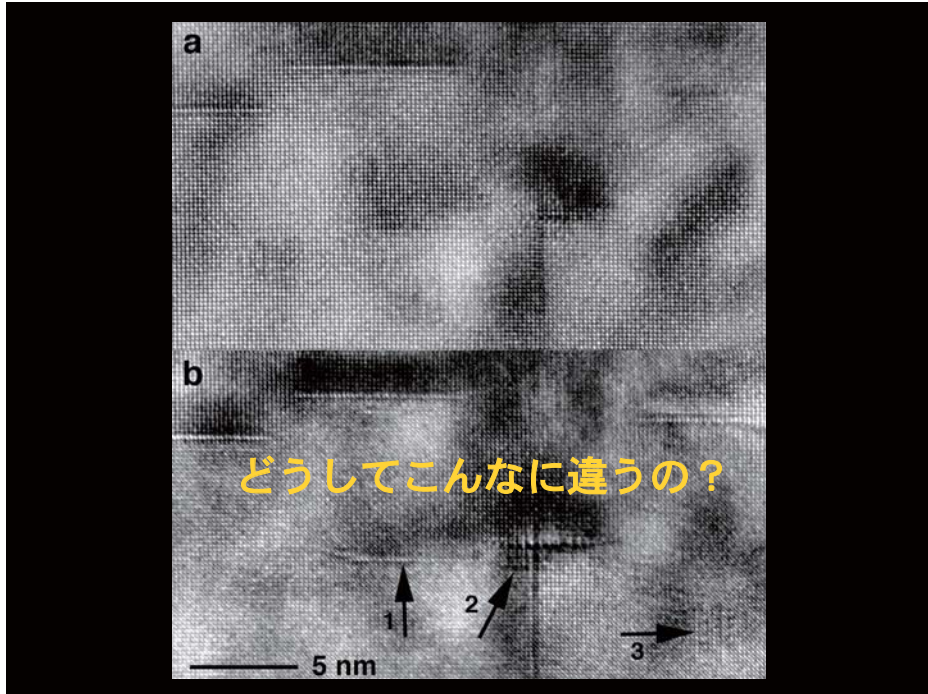
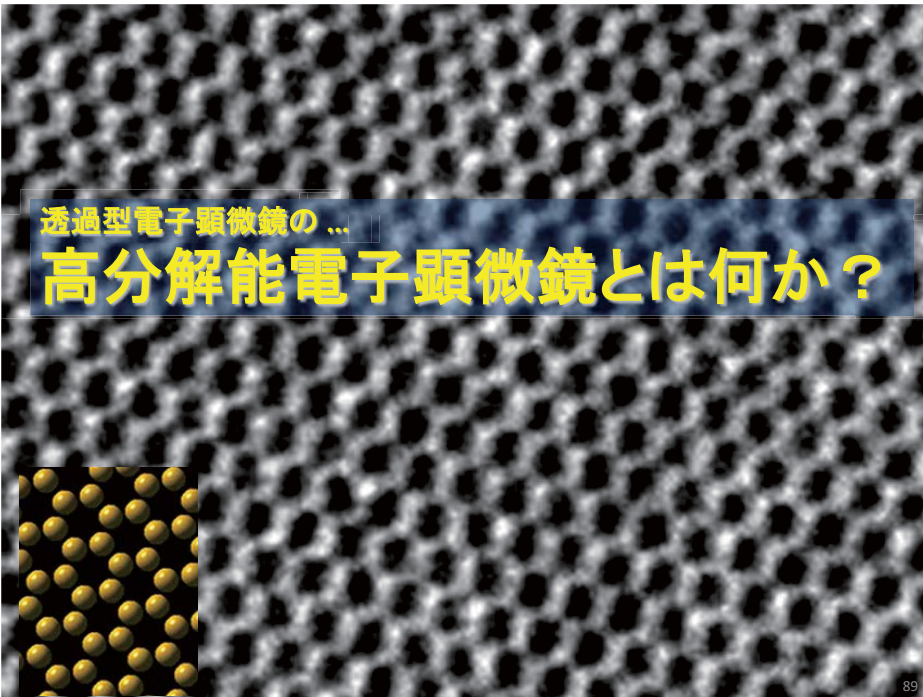
86



87



88



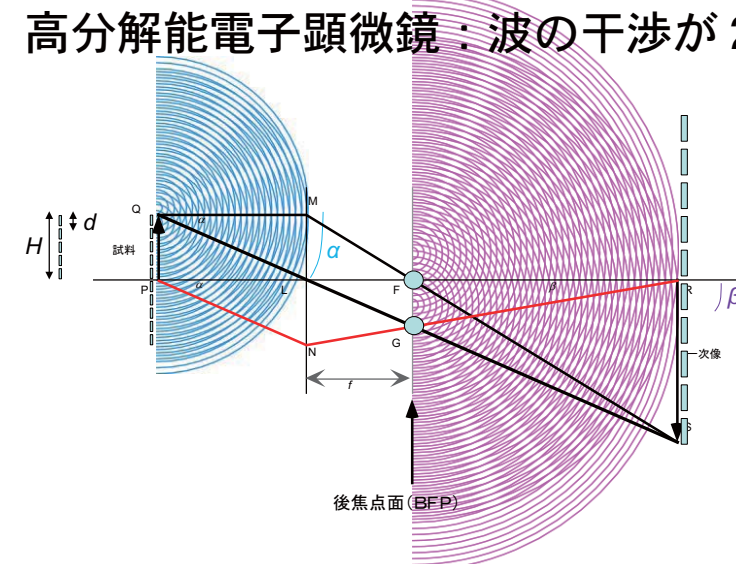
これから、位相コントラスト  
まずは簡単な例から

位相コントラスト：高分解能像

合金の高強度化：Al-Cu 合金

90

高分解能電子顕微鏡：波の干渉が 2 回



回折パターンを新たな起点として干渉が起こり、  
もとの試料の情報が再現される！

92

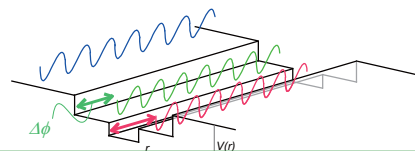
## 電子線が試料を通過するとき。。。。

$$k_0 = \frac{1}{\lambda} = \frac{\sqrt{2mE}}{h}$$

$k = \sqrt{\frac{2m(E+V)}{h}} \approx k_0 \left(1 + \frac{V}{2E}\right)$

エネルギーが高いほど波長は短い  
(分解能は高い)

試料の中では原子の引力を感じて  
電子線の波長が短くなるんだ?



この位相の差を可視化したい!

93

## 振幅コントラスト vs 位相コントラスト

Amplitude Contrast

VS

Phase Contrast

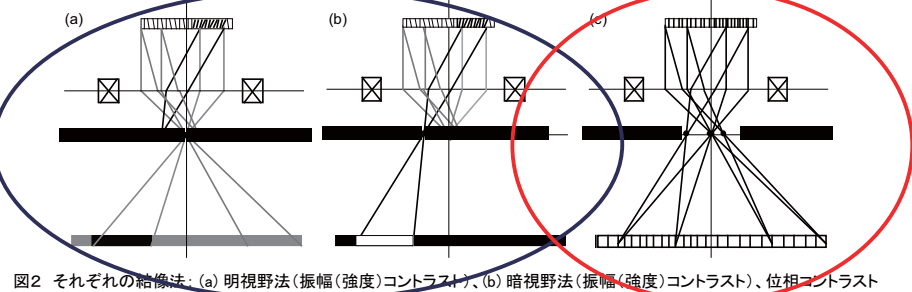


図2 それぞれの結像法: (a) 明視野法(振幅(強度)コントラスト)、(b) 暗視野法(振幅(強度)コントラスト)、位相コントラスト

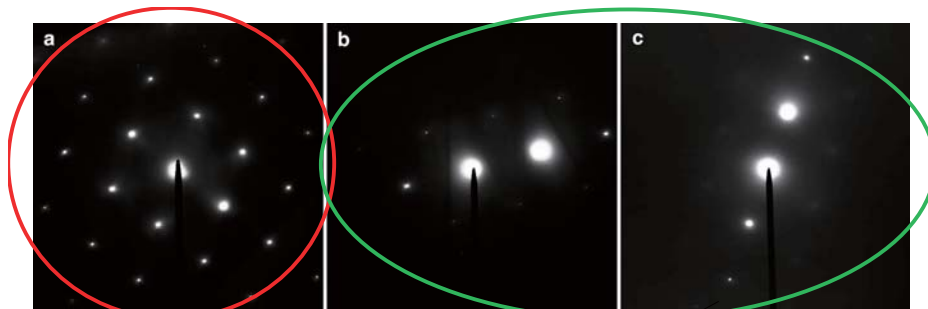
Amplitude Contrast: 選択した波の振幅の空間的分布

→ そのまま像面に投影すればよい

Phase Contrast: 波の位相の空間的分布

→ 波を干渉させることによって、位相差を抽出  
しなくてはならない

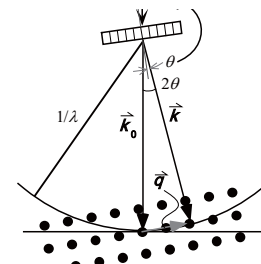
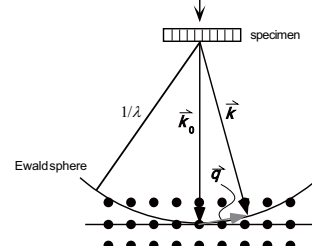
94



位相コントラストのときに必要なディフラクションパターン

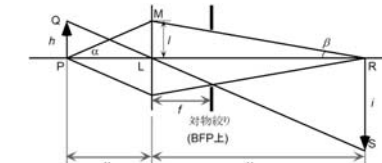
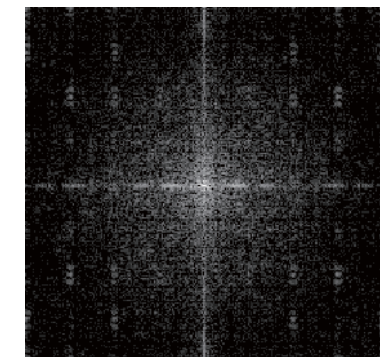
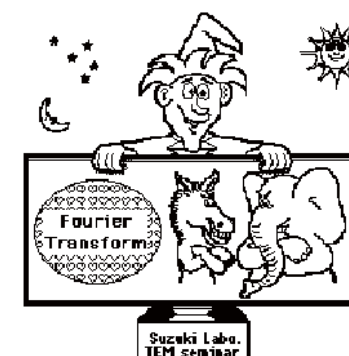
Bragg

動力学的效果を利用するときに用いられるディフラクションパターン



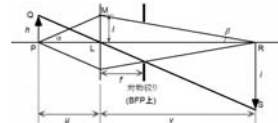
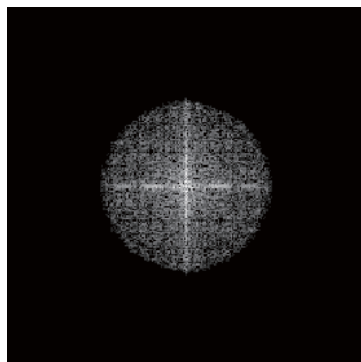
95

## フーリエ変換と空間周波数



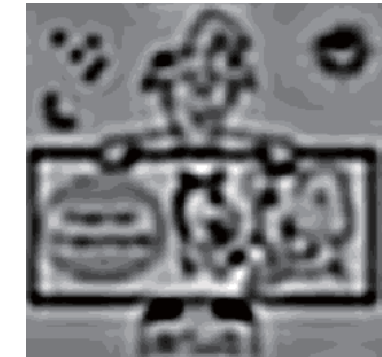
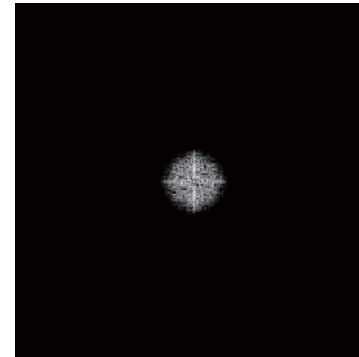
96

## フーリエ変換と空間周波数



97

## フーリエ変換と空間周波数



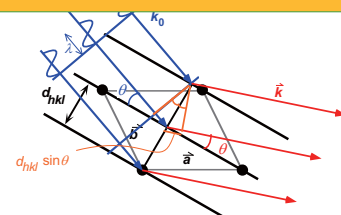
波数空間（後焦点面）でより遠いところほど、細かな情報を持っている。

98

## 回折パターンと干渉模様の関係



回折パターンの高角側の情報がほしい。

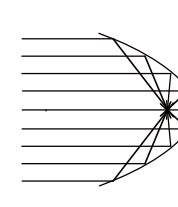


$$\lambda = 2d \sin \theta$$

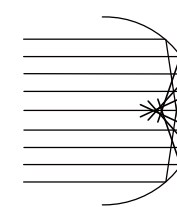
波数空間（後焦点面）でより遠いところほど、細かな情報を持っている。

99

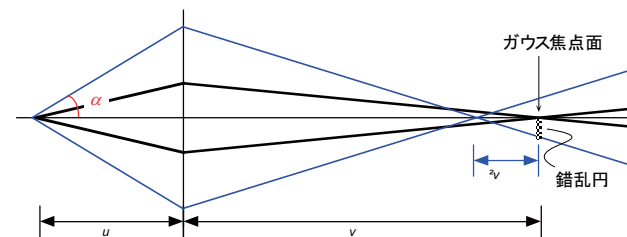
## 球面収差



パラボラアンテナ



‘スフェリカル’アンテナ



$$f = f_0 - C_s \alpha^2$$

レンズの外側を通過した波ほど、より強く曲げられてしまう（焦点距離が短くなる）

100

# 散乱ベクトル

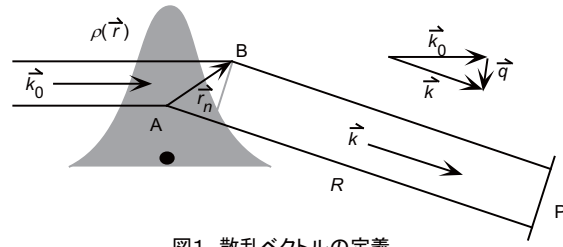


図1 散乱ベクトルの定義

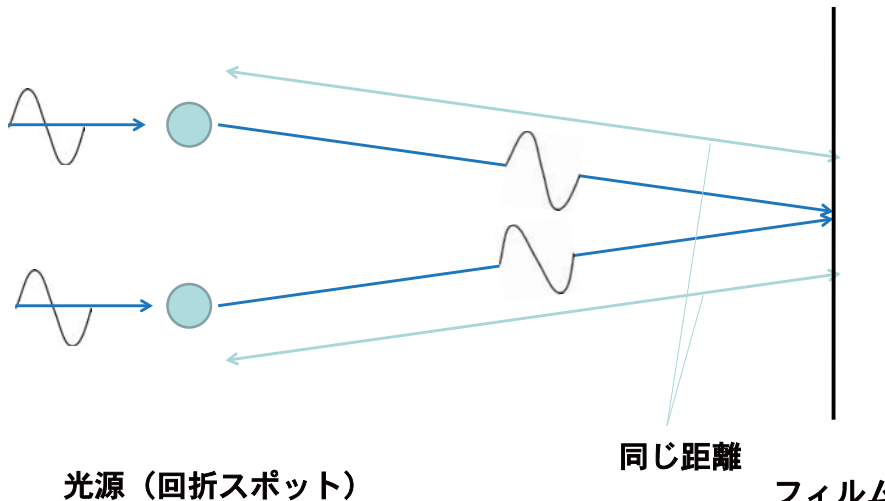
入射波  $k_0$  がどれだけ散乱したかを（角度ではなく波長で規格化した）ベクトルで表す。

$$\vec{q} = \vec{k} - \vec{k}_0 \quad |\vec{q}| = \frac{2 \sin \theta}{\lambda}$$

これからは  $\theta$  の代わりに  $q$  を用いる。

101

光学系の不完全さによる光路差を計算する必要がある

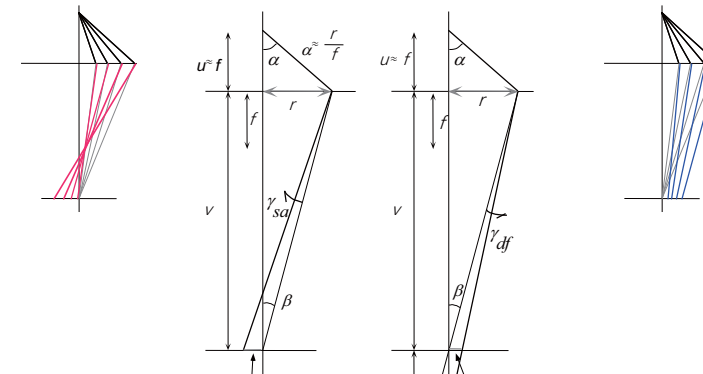


光源 (回折スポット)

光源から同じ距離（あるいは波長の整数倍）のところは強めあう

103

# 球面収差とディフォーカス

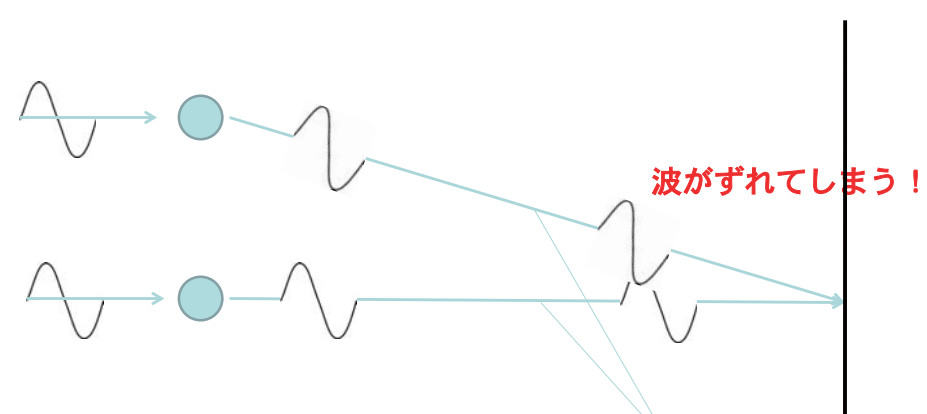


レンズの外側（高い周波数に関する情報を持つ）を通過する電子線の位相はずれてしまう

わざとレンズの力を弱めて、球面収差によるビームの曲がりを補正しようとする。(ただし、相殺しない)

102

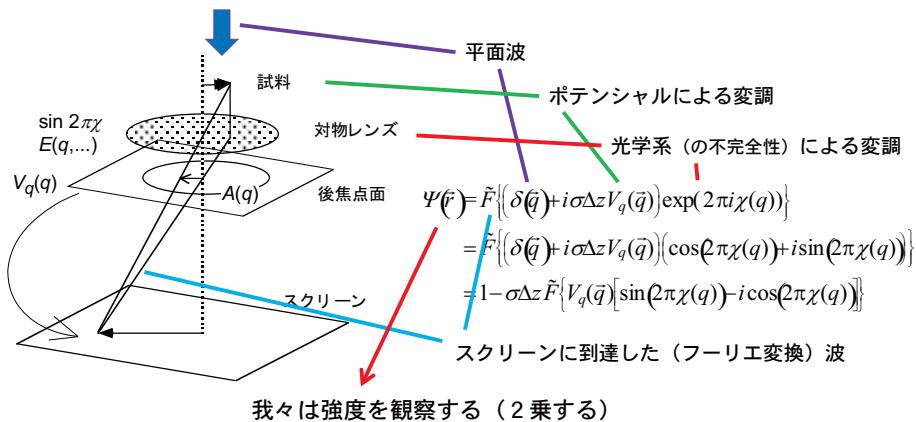
半波長ずれたところは弱め合う！



レンズ系の不完全さによる位相のずれ  
これを定量的に角度の関数として表したい  
→ 位相コントラスト伝達関数

104

## 位相コントラスト伝達関数：光学系の評価

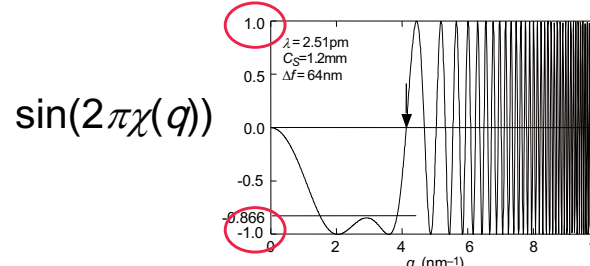
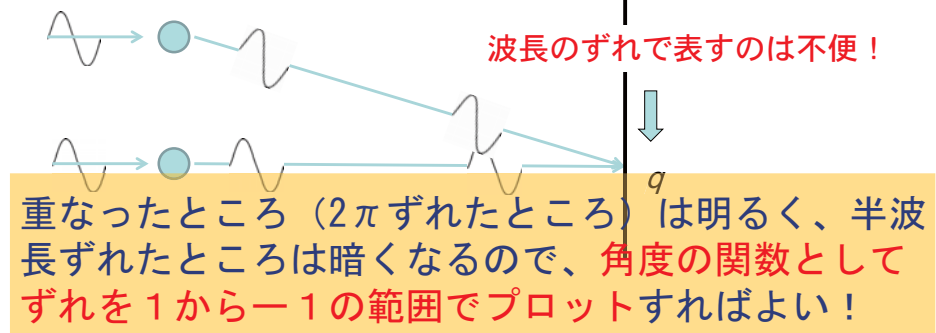


我々が観察するのはポテンシャルのフーリエ変換に  
 $\sin(2\pi\chi(q))$  がかかったもののフーリエ変換

### 位相コントラスト伝達関数

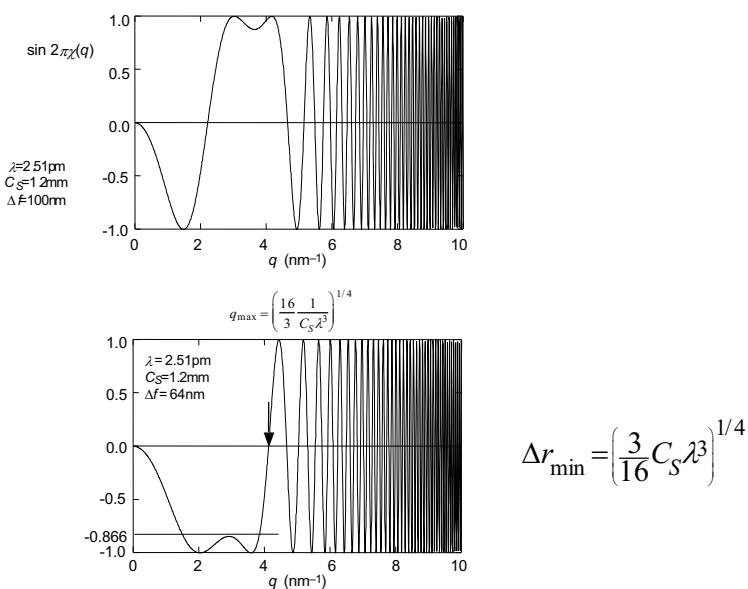
105

## 位相コントラスト伝達関数の意味



106

## シェルツァーディフォーカス



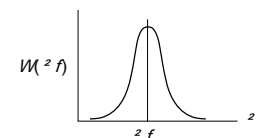
107

ここまででは球面収差を除いて、完璧な電顕のおはなし。

電子線のエネルギーのばらつき

レンズ電流のばらつき

焦点距離の不確定性



$$\sigma = C_C \left[ \left( \frac{\Delta E}{E} \right)^2 + \left( 2 \frac{\Delta J}{J} \right)^2 \right]^{1/2}$$

$$I(\vec{r}) \approx 1 - 2\sigma\Delta z \tilde{F}[V_q(q) \sin(2\pi\chi(q, \Delta f))]$$

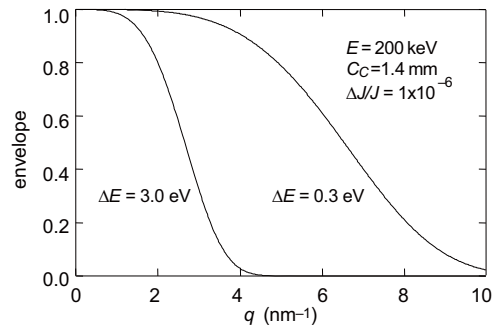
$\Delta f \rightarrow W(\Delta f) d\Delta f$ ,  $1 - 2\sigma\Delta z \tilde{F}[V_q(q) \int \sin(2\pi\chi(q, \Delta f)) W(\Delta f) d\Delta f]$

## 包絡関数

108

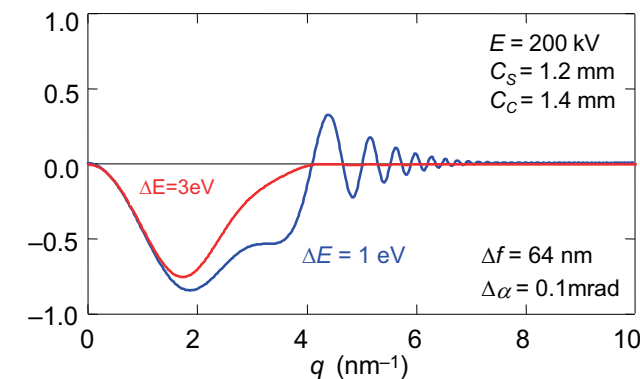
## 包絡関数

$$\int \sin(2\pi\chi(q, \Delta f)) W(\Delta f) d\Delta f = \sin(2\pi\chi(q, \Delta f_0)) \exp(-\pi^2 \lambda^2 q^4 \sigma^4)$$



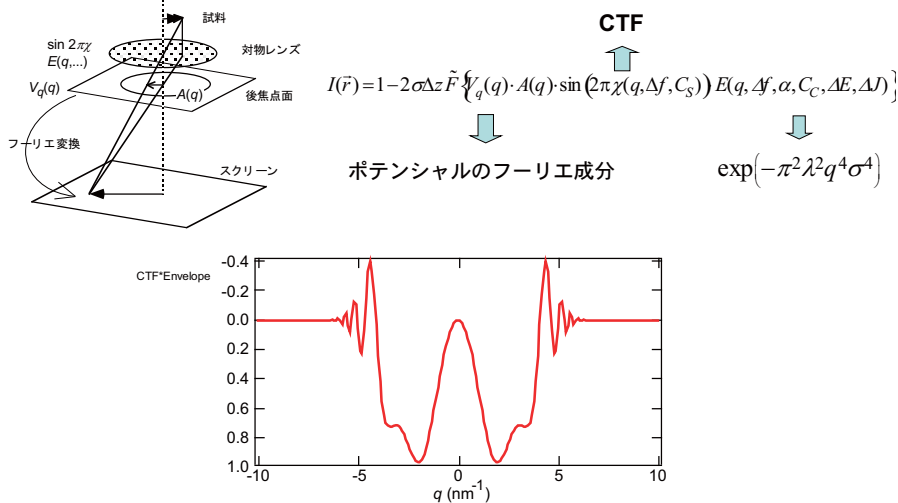
109

## 実効的なコントラスト伝達関数



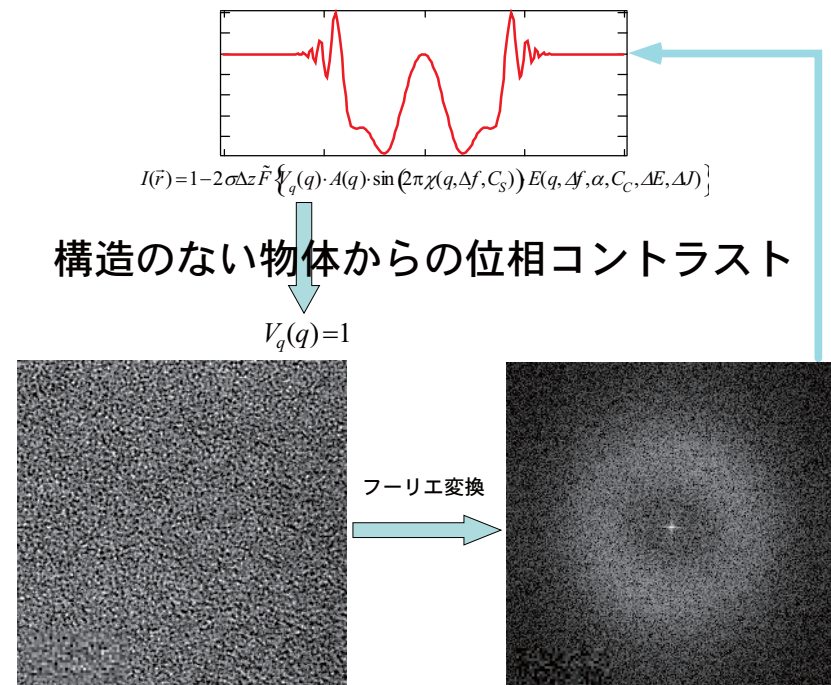
対物しづりを入れなくても分解能は包絡関数によって決まってしまう。

110



実効的なフィルターとなり分解能を制限する  
この光学的なアーティファクトのみを  
可視化する方法はないだろうか？

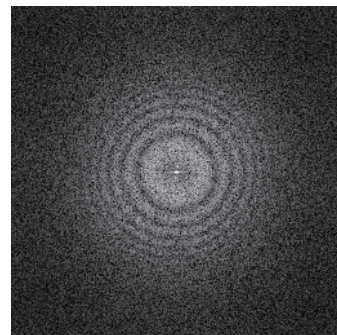
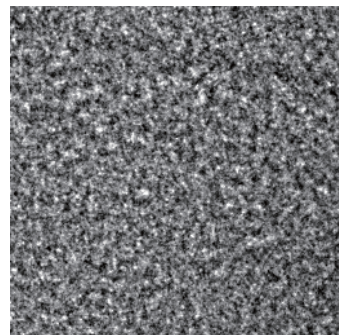
111



112

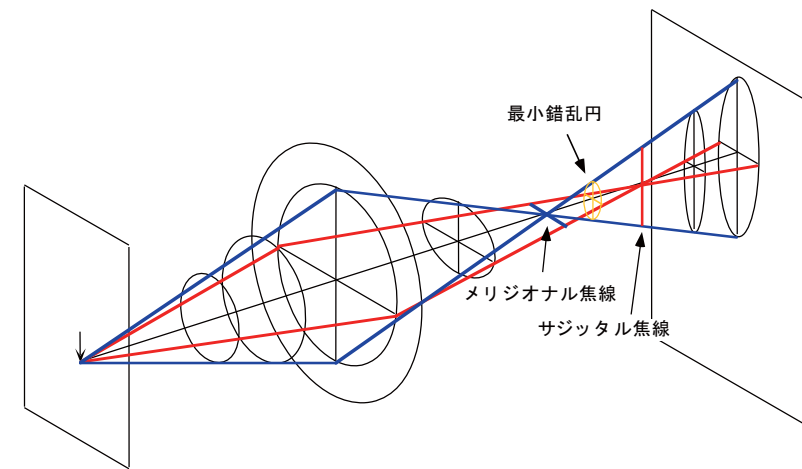
## ディフォーカス量による変化

$$\Delta f = -3\mu\text{m}$$



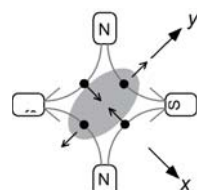
113

## 非点収差のある場合

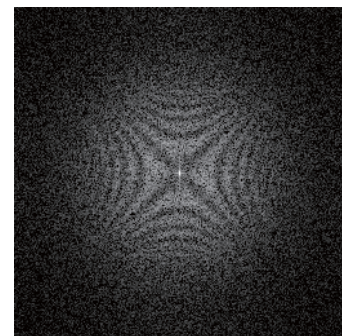
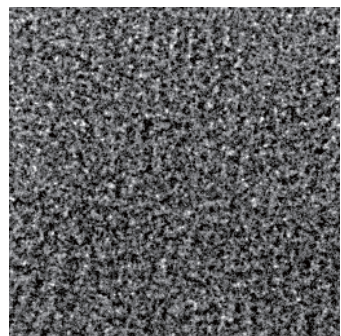


114

## 非点収差の補正



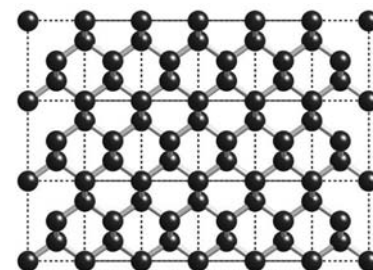
非点補正コイル



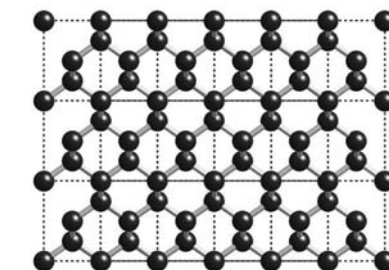
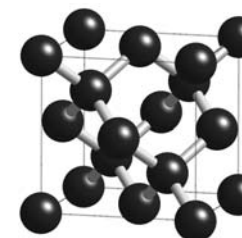
115

## 結晶からの位相コントラスト

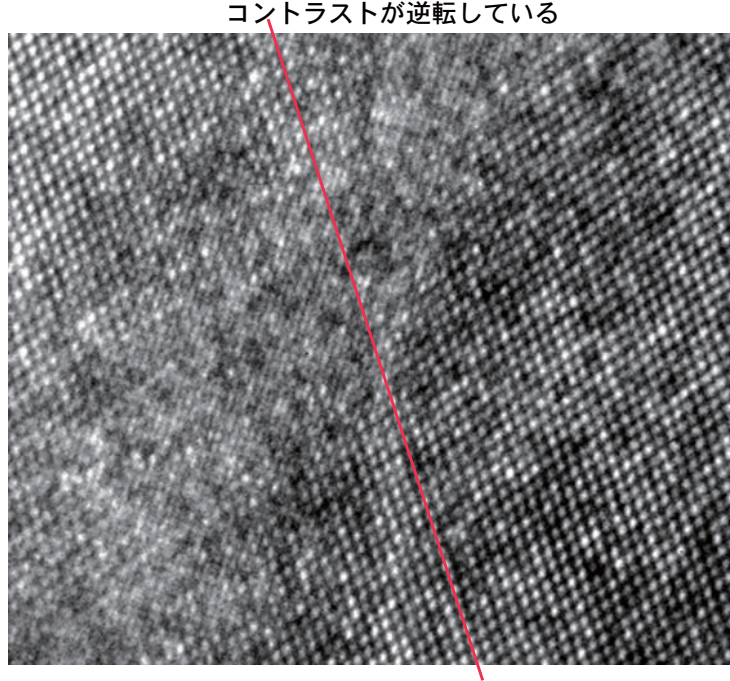
Si



&lt;110&gt;入射

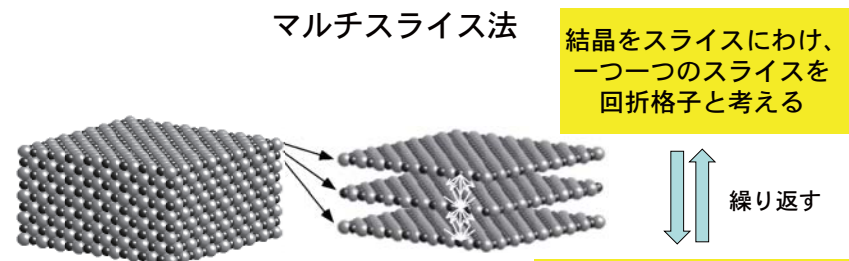


116



117

## シミュレーションとの比較



$$\text{透過関数: } t(x) = \exp \left\{ -i\sigma v(x) \right\} = \exp \left\{ -i \frac{\pi}{\lambda E} \int_0^{A_z} V(x) dx \right\}$$

$$\text{2次元格子による回折波: } \psi_1^{\text{out}}(x_1) = t(x_1) \psi_1^{\text{in}}(x_1)$$

$$\text{個々の波の伝搬関数: } p(x_2 - x_1) = \left( \frac{i}{\lambda \Delta z} \right)^{1/2} \exp \left\{ -2\pi ik \frac{(x_2 - x_1)^2}{2 \Delta z^2} \right\}$$

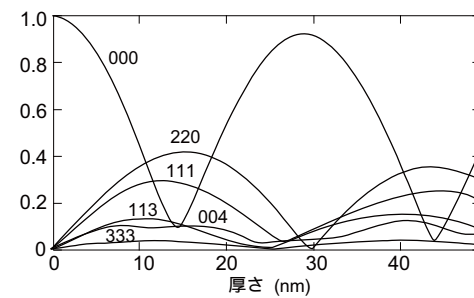
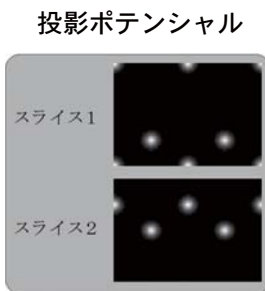
$$\text{次の2次元格子への入射波: } \psi_2^{\text{in}}(x_2) = \int p(x_2 - x_1) \psi_1^{\text{out}}(x_1) dx_1$$

スライス間の波の伝播を  
フレネル回折で近似する。

フレネル回折：高次の回折、スクリーンが  
散乱体の直下にあるときに適用できる。

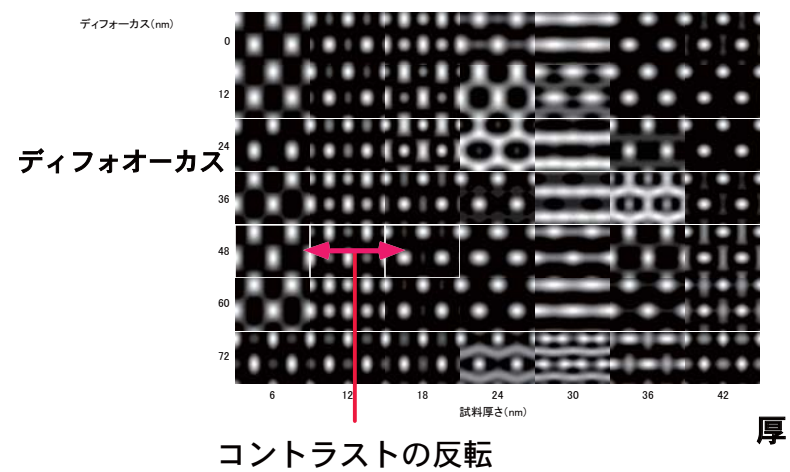
118

## 回折波の振幅の試料厚さ方向の変化

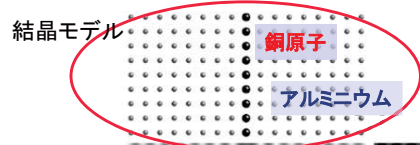


119

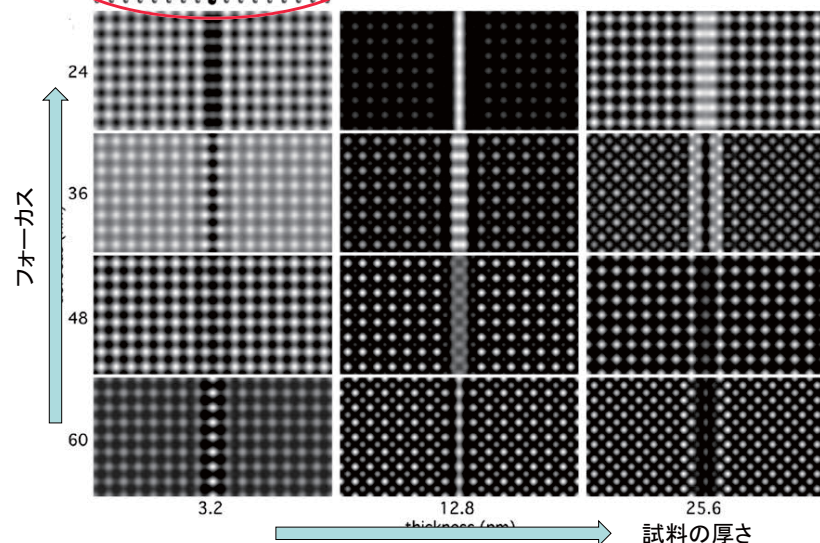
## シミュレーションとの比較



120

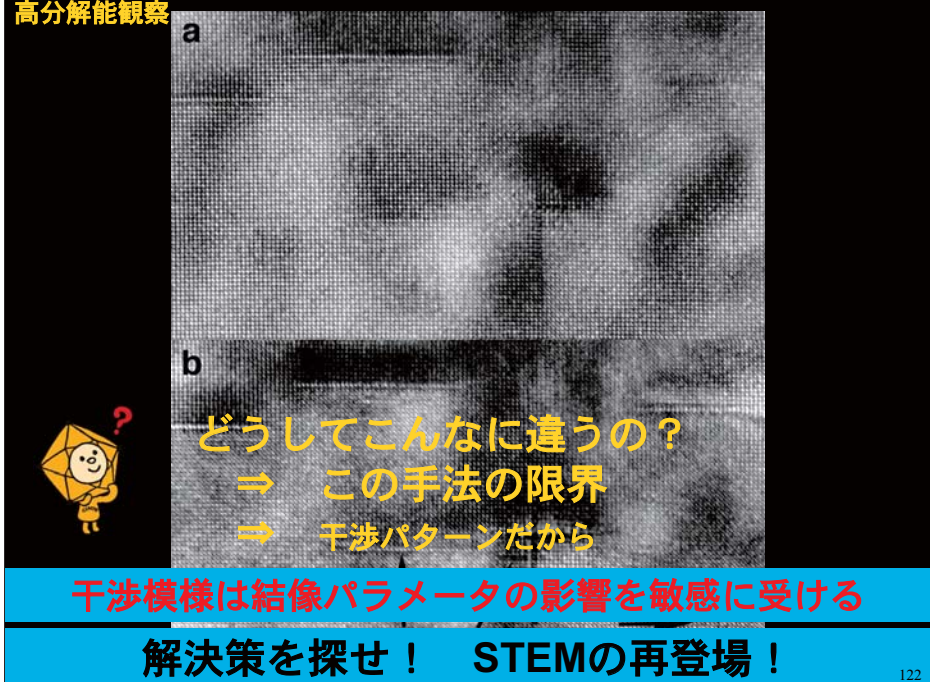


左の結晶モデル(波のずれを与える)に対して  
三通りの試料の厚さ(横軸)と  
四通りのフォーカス量(縦軸)に対して、  
計12のイメージを計算した例



121

### 高分解能観察



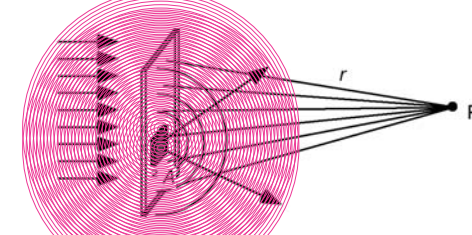
122

## STEMの光学系

### 照射系と検出系

123

### しぶりの内側からのフラウンホーファー回折

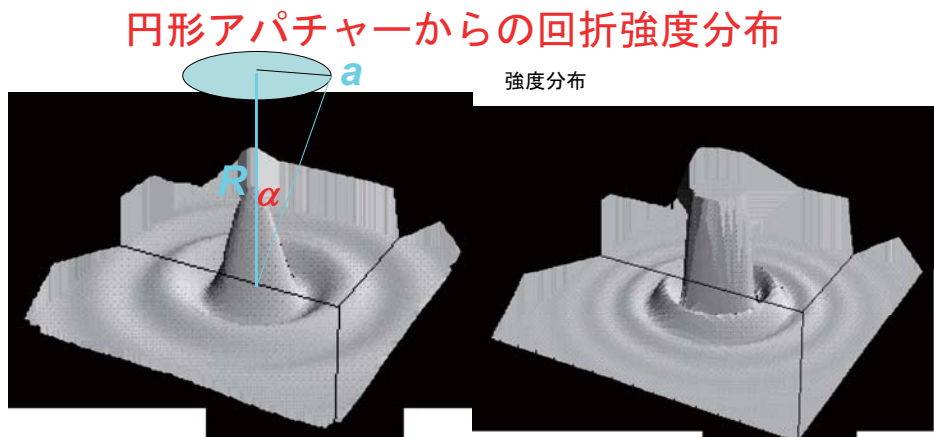
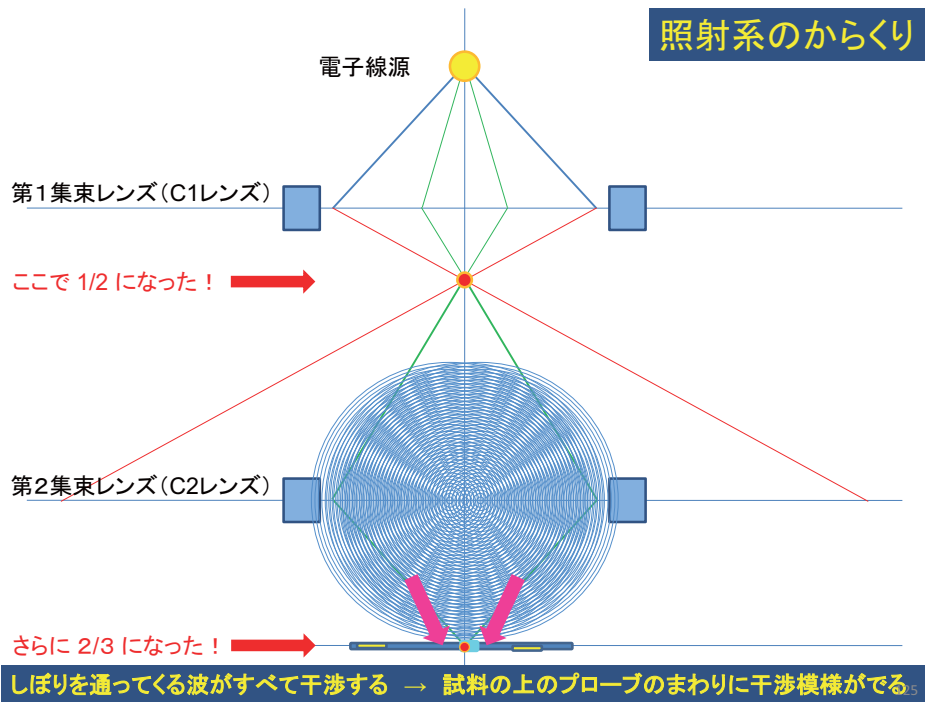


ホイヘンスの原理：波の伝搬は任意の波面から射出する2次波の重畠として記述される。

$$\Psi_Q = \sum_{j=1}^N \frac{b}{r_j} e^{2\pi i(k r_j - \nu t)} \Delta A_j \quad \rightarrow \quad \Psi_Q = \iint_{\text{aperture}} \frac{b}{r} e^{2\pi i(k r_j - \nu t)} dA$$

- 要するにしぶりの中すべてからの波の足しあわせを行う。
- 観測点 P からしぶり内の各点までの距離が違うので（光路差）位相がずれ、干渉が起こる。

124



円形であってもアパチャーの各部位からスクリーンまでの光路差によって干渉は起き、ピークの周囲に強度分布が生じる。

中央の強度が強い部分は Airy Disc と呼ばれる。

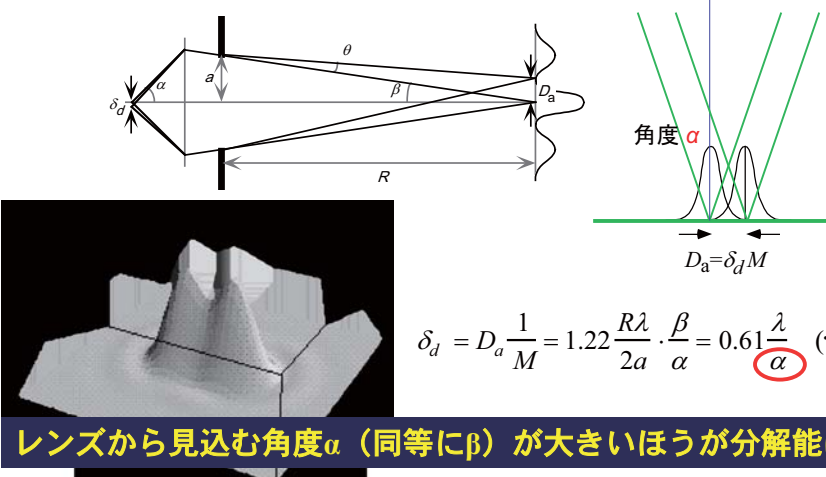
$$\text{ディスク半径 : } D_a = \frac{3.83}{\pi} \frac{R\lambda}{2a} = 1.22 \frac{R\lambda}{2a} = 0.61 \frac{\lambda}{a/R}$$

角度  $\alpha$

126

## 分解能：レイリー条件

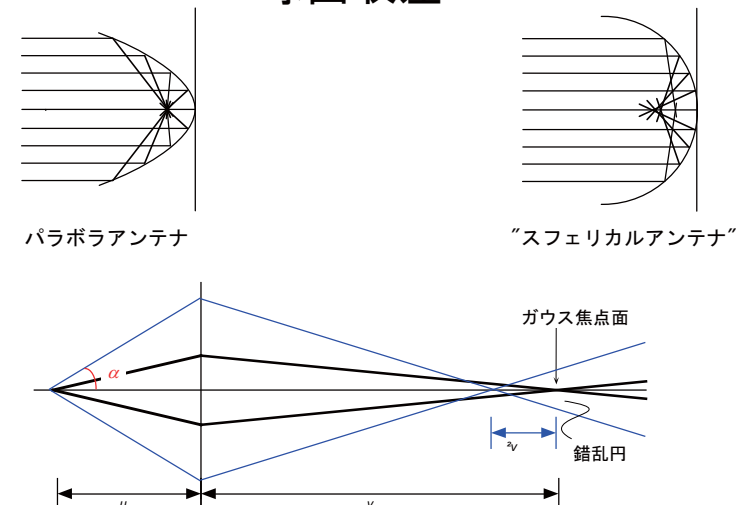
「一つの Airy Disc の中心がもう一つの Airy Disc の最小強度の点にあるとき、その二点はギリギリに分解されている。」



アパチャーからのフランホーファー回折によるビームの拡がりを「回折収差」と呼ぶ。(厳密には収差 (aberration) ではない)

127

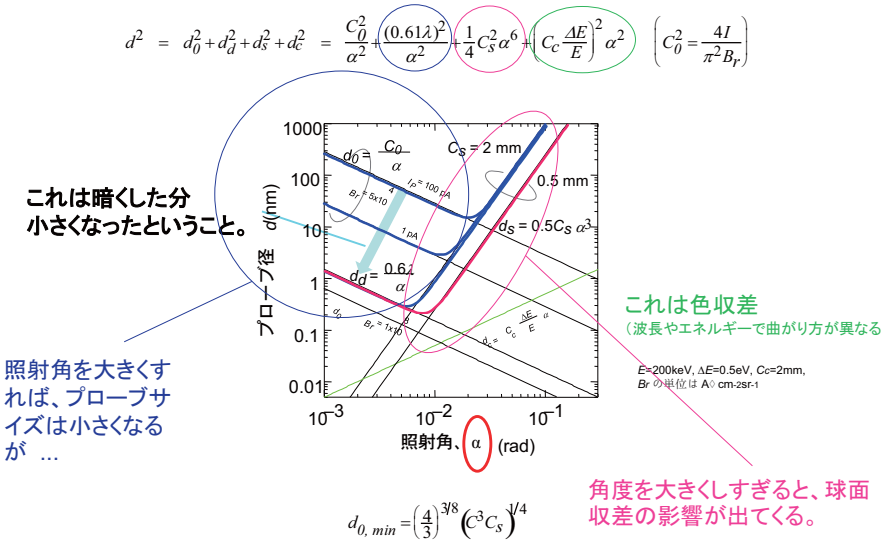
## 球面収差



$$f = f_0 - C_s \alpha^2$$

128

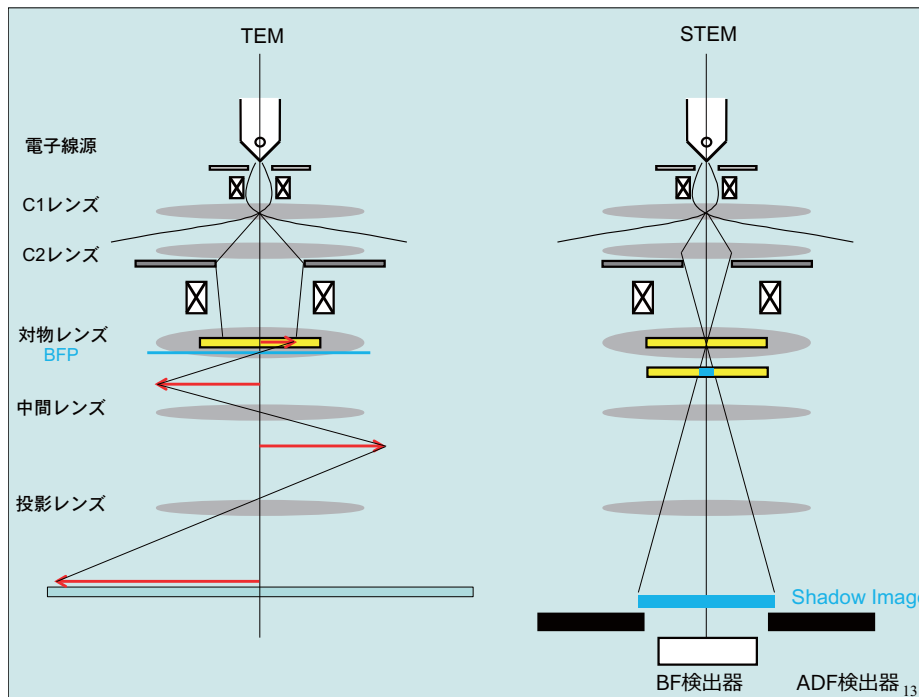
## 微小プローブの形成とSTEM



129

## STEMモードの光線図

130



131

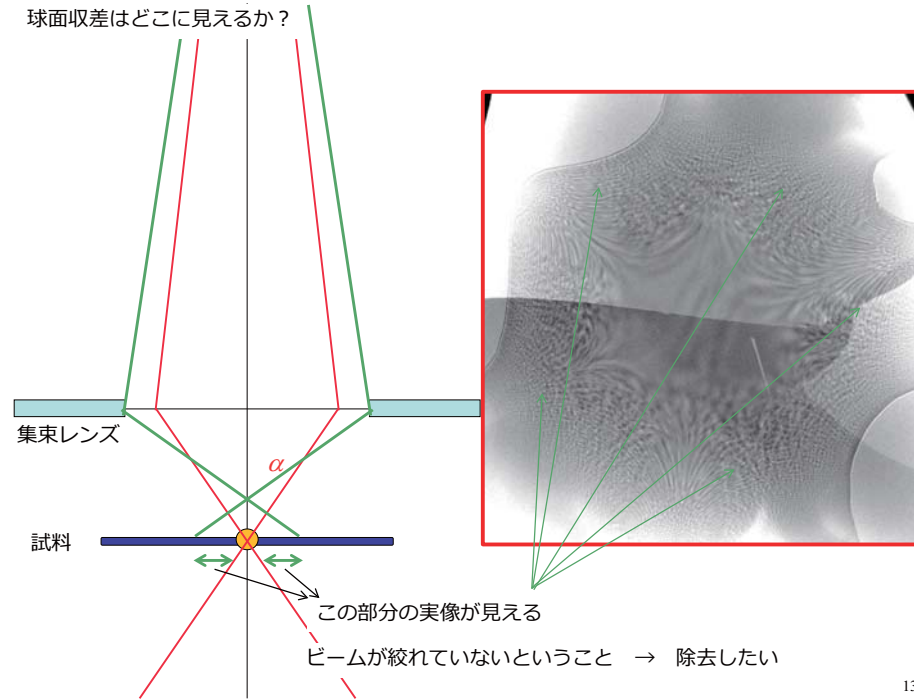
## 電子を集束する操作の実際

ロンチグラムとは何か？

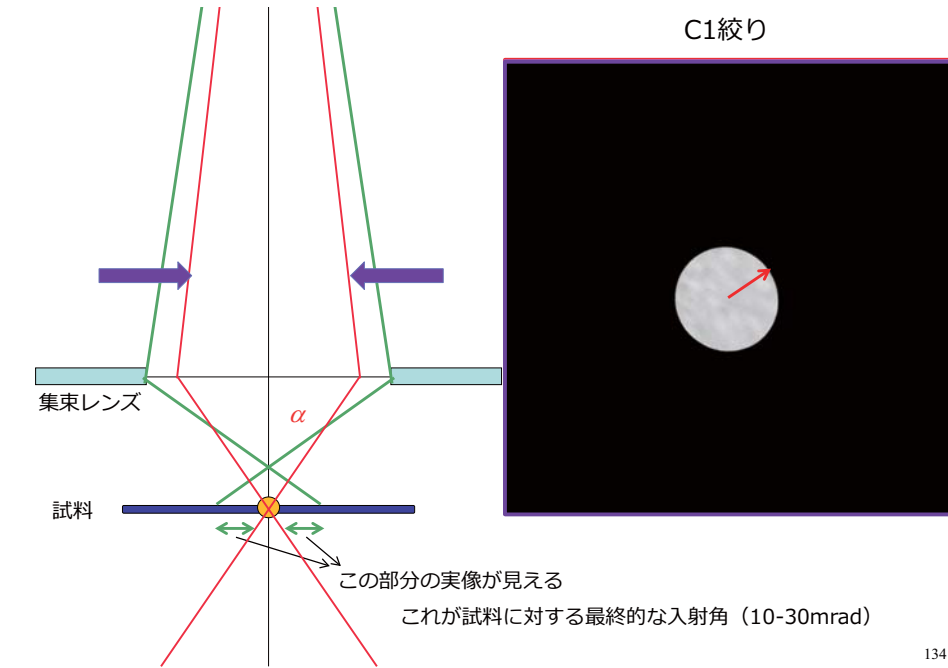
ビームを絞るって、どうやるの？



球面収差はどこに見えるか？



球面収差の強いレンズの外側の電子線を絞りで除く

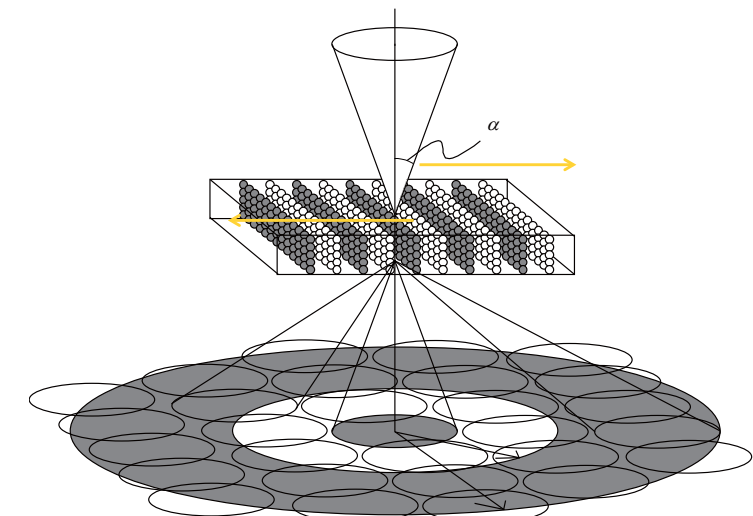


## STEM + BF / LAADF / HAADF

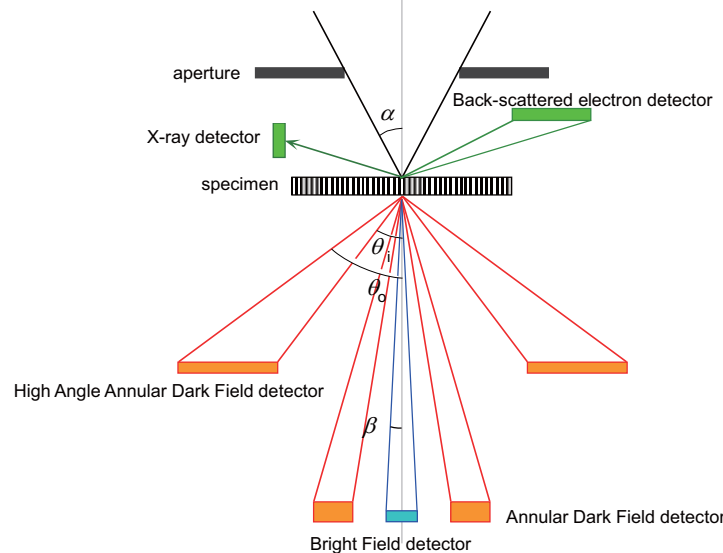
検出器の配置

135

円環状検出器

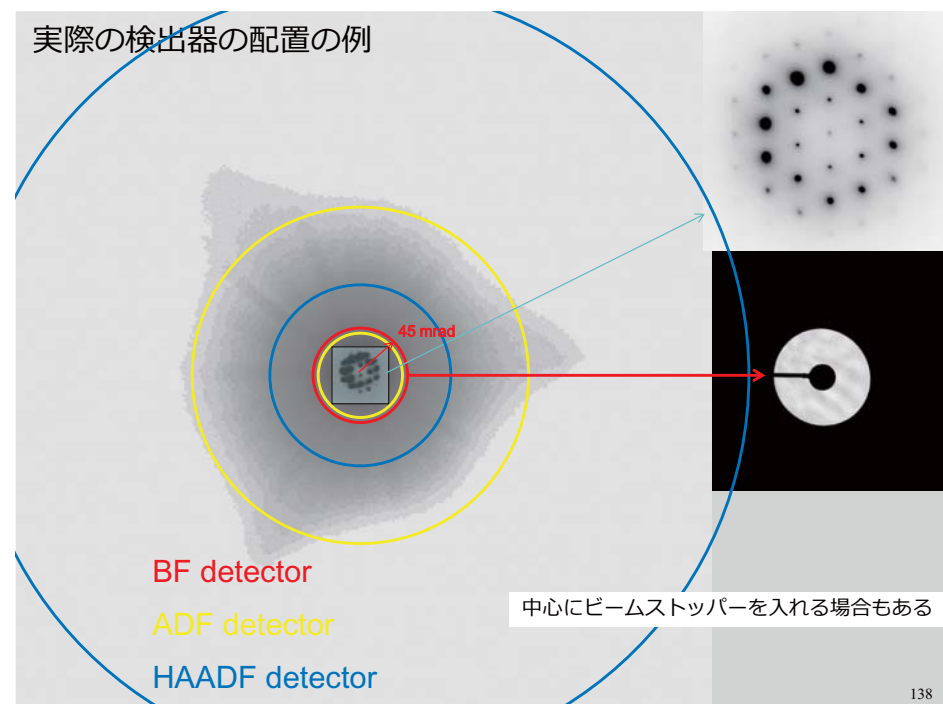


## STEM detector geometry



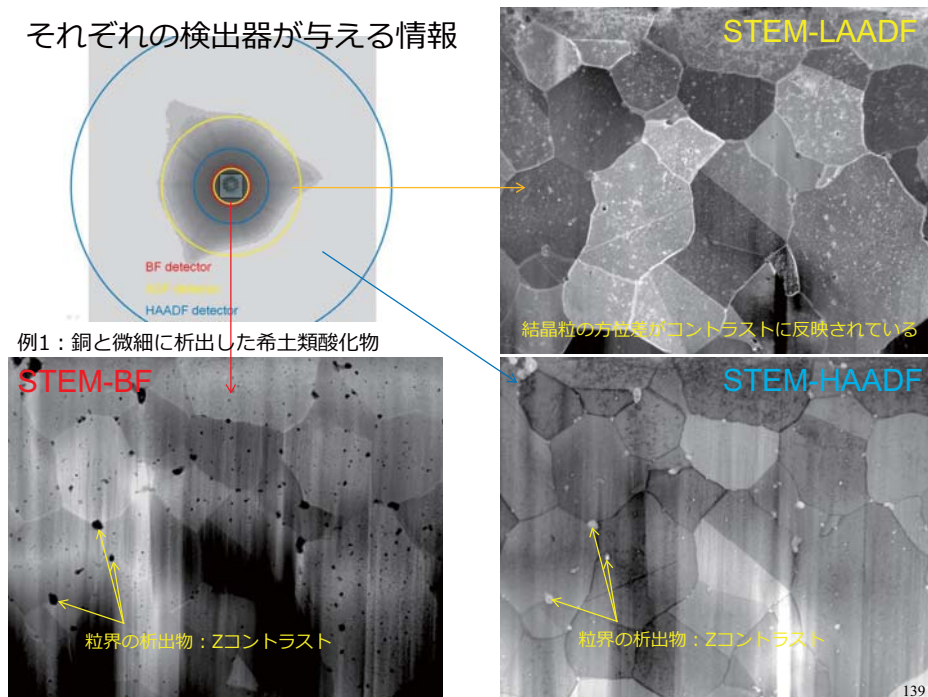
137

## 実際の検出器の配置の例



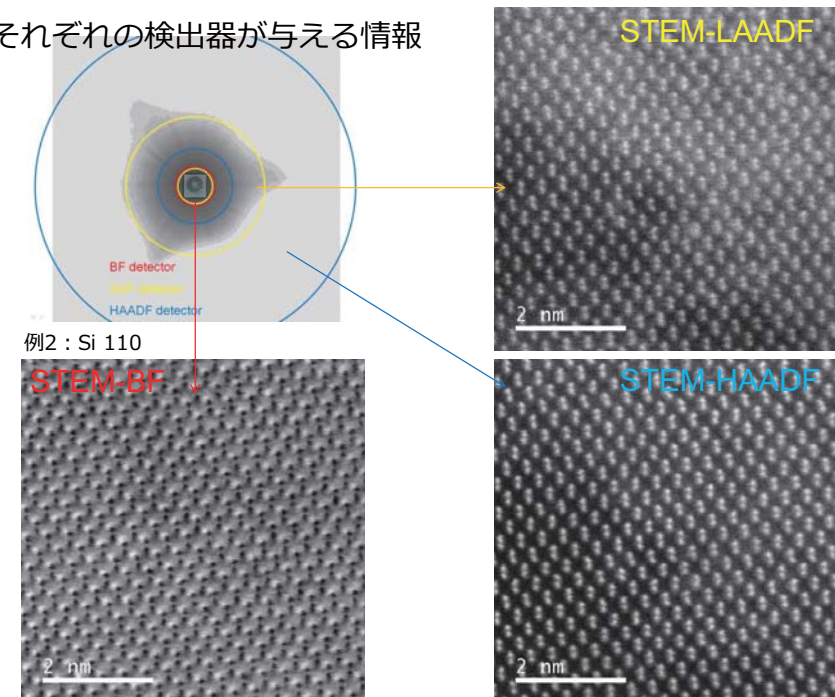
138

## それぞれの検出器が与える情報



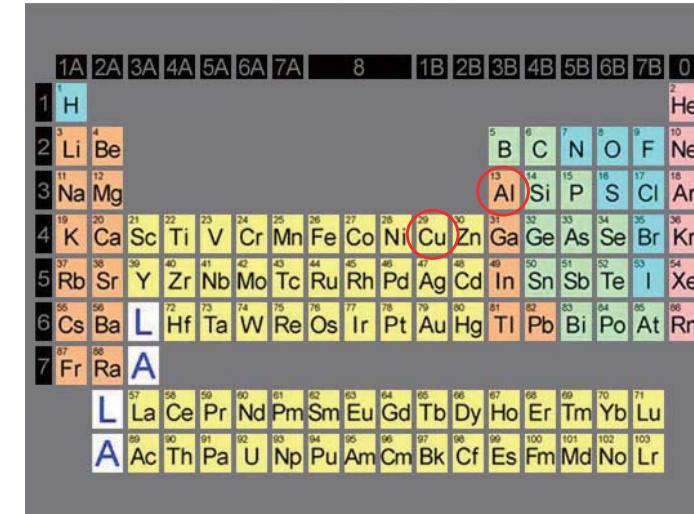
139

## それぞれの検出器が与える情報



140

## GP zone seen by STEM



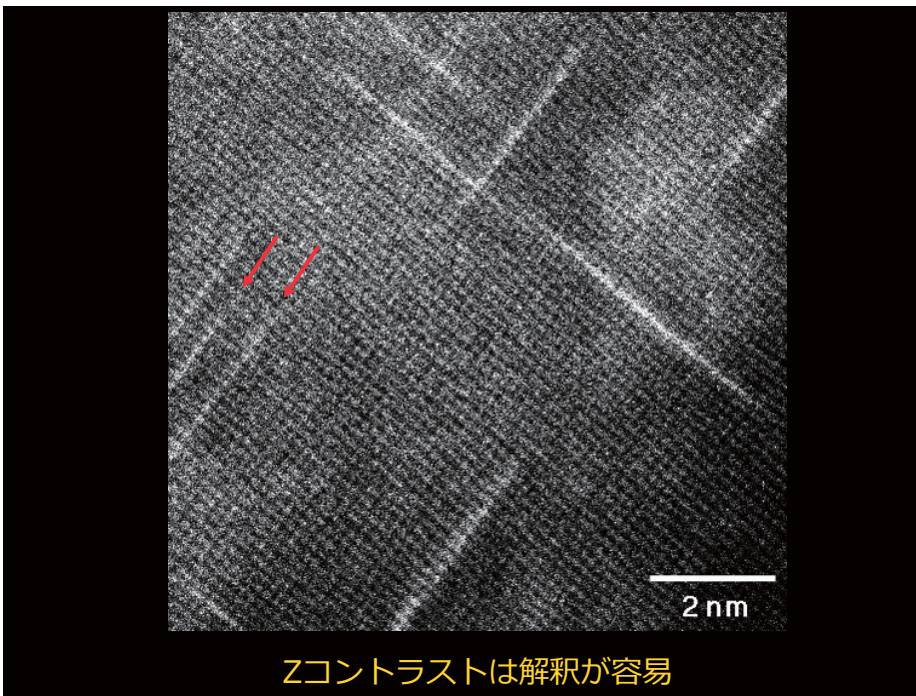
142

## STEM : Zコントラストと動力学的効果

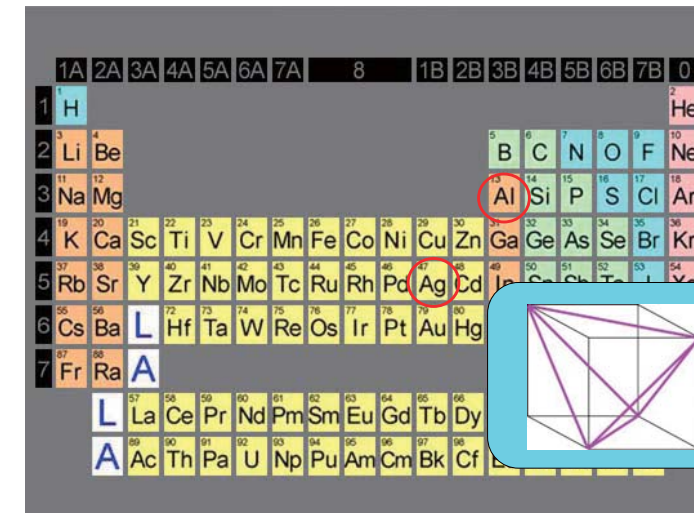
### Al-Cu system

### Al-Ag system

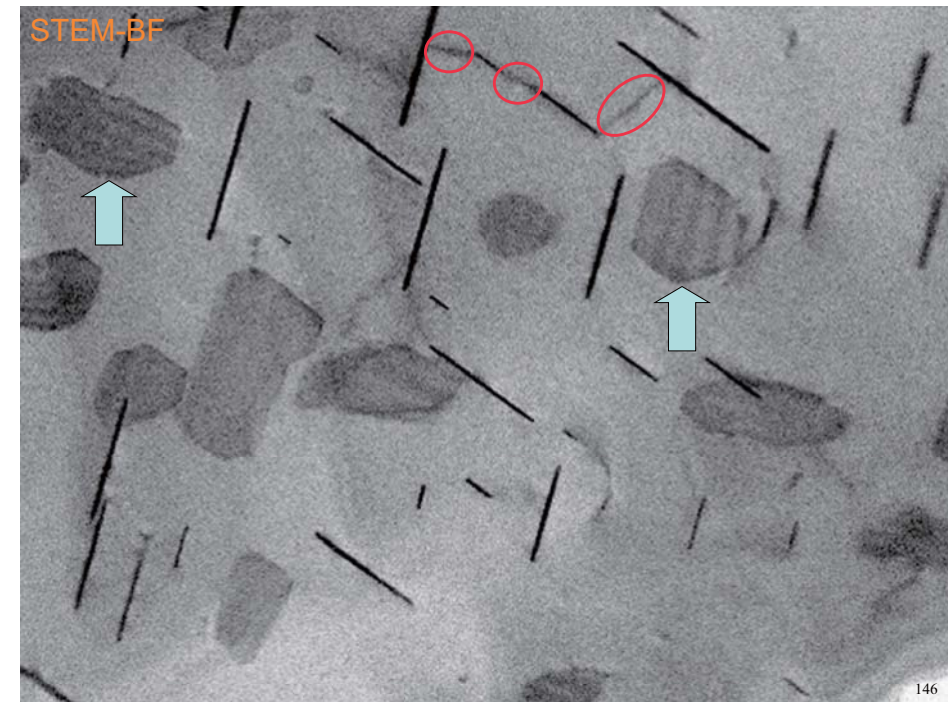
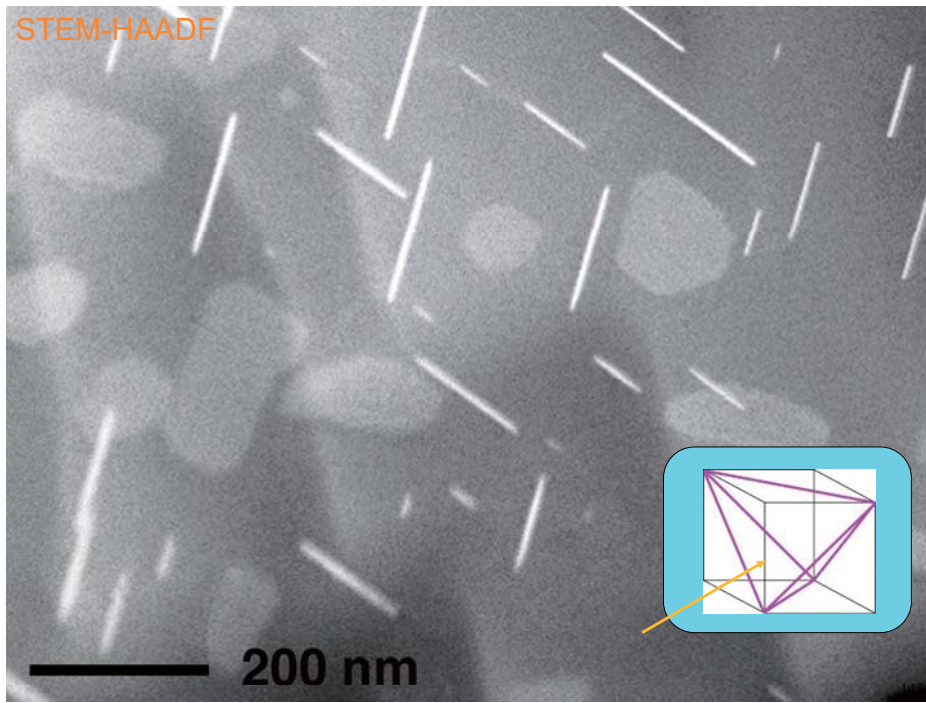
141



## Ag<sub>2</sub>Al precipitates seen by STEM

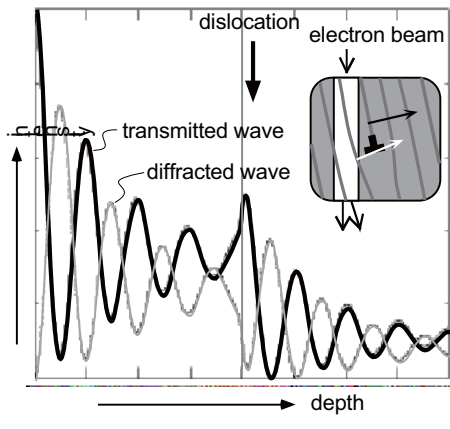


144

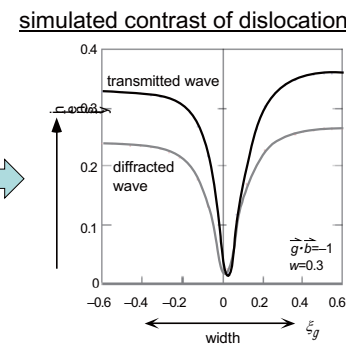


## 二波条件

試料中の透過波と回折波の強度の変化



転位の周辺のコントラスト  
(シミュレーション)

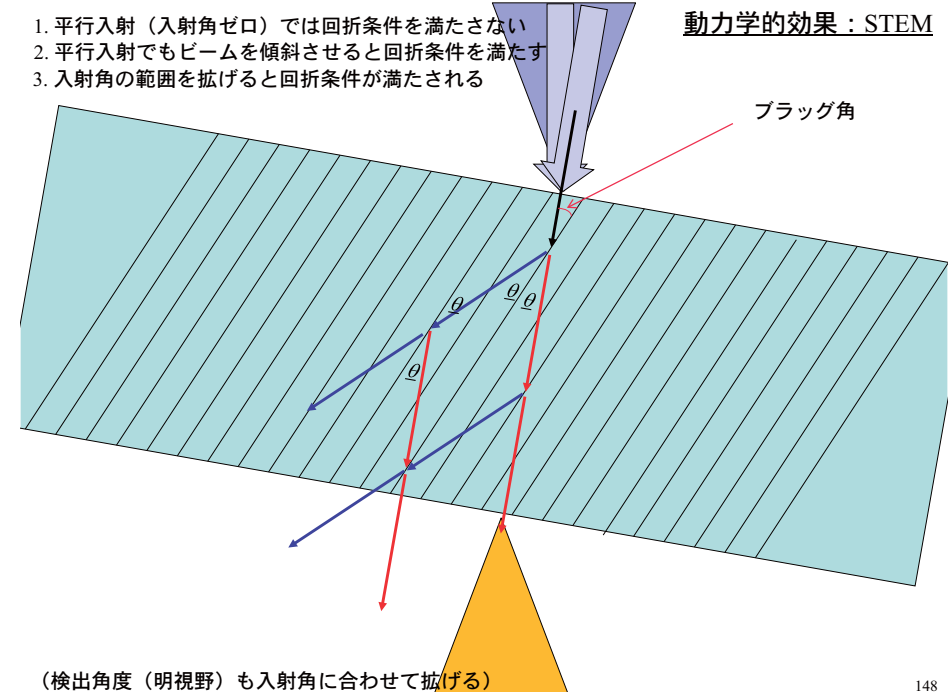


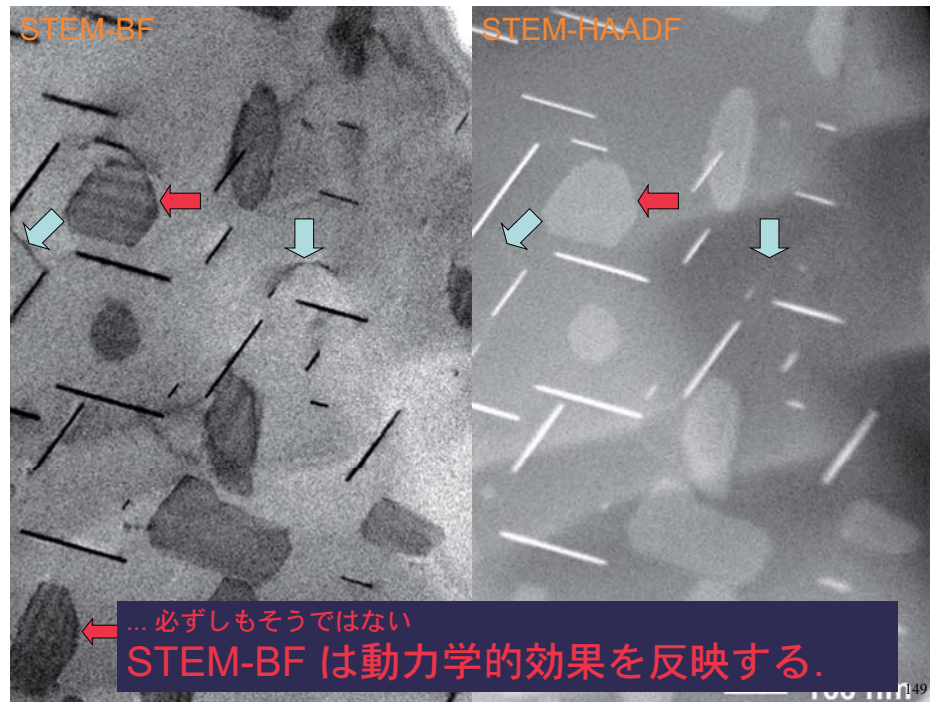
転位の近傍で二波条件が乱される

147

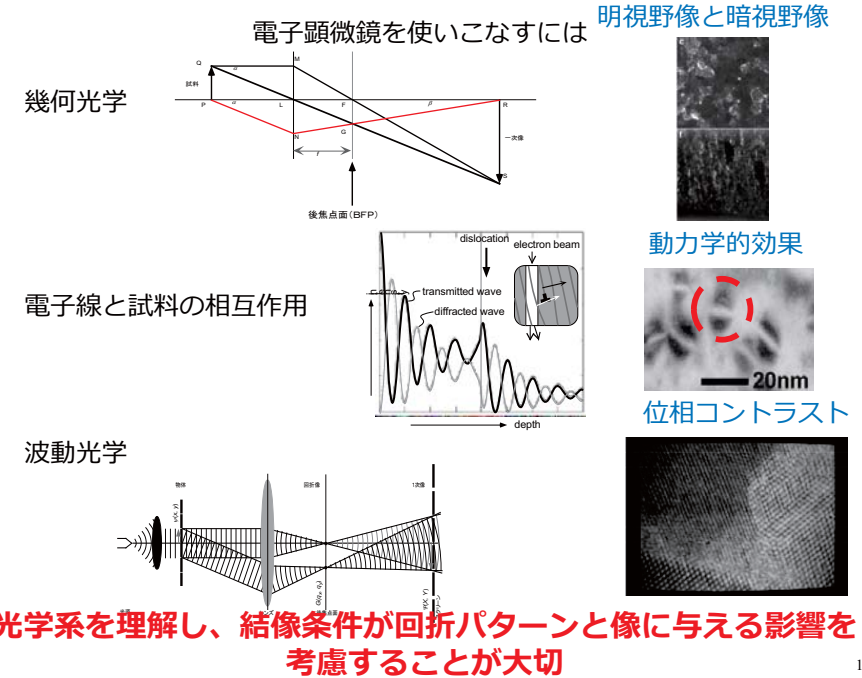
1. 平行入射（入射角ゼロ）では回折条件を満たさない
2. 平行入射でもビームを傾斜させると回折条件を満たす
3. 入射角の範囲を拡げると回折条件が満たされる

動力学的効果：STEM





149



ARIM-IMR チュートリアルシリーズ「観る」編 3 「回折現象」

本日、ご説明できなかったことは ARIM事業班HPのチュートリアルをご参考ください。

ARIM-IMR チュートリアルシリーズ「観る」編 4 「透過電顕 1: 明視野像と暗視野像」

ARIM-IMR チュートリアルシリーズ「観る」編 5 「透過電顕 2: 歪を観る -動力学的効果入門-」

ARIM-IMR チュートリアルシリーズ「観る」編 6 「透過電顕 3: 高分解能電子顕微鏡 -位相コントラスト入門-」

ARIM-IMR チュートリアルシリーズ「観る」編 7 「走査型透過電子顕微鏡 (STEM)」

<https://arim.imr.tohoku.ac.jp/tutorial>

ARIM-IMR 入門と材観察、それ

151

